



# LE FROID SOLAIRE

## Partie 2

M. Pons

CNRS-LIMSI , Rue J. von Neumann,



BP133, 91403 Orsay Cedex

<http://perso.limsi.fr/mpons/>

Master 2 OMEBA

## Plan du deuxième cours

- RAPPELS RAPIDES
- BILANS D'ÉNERGIE, SUITE DU COURS No 1
- LE RAFRAICHISSEMENT PAR ÉVAPORATION, DIRECTE OU INDIRECTE
- LE RAFRAÎCHISSEMENT PAR CYCLE DESSICCANT
  - HISTORIQUE ET RÉALITÉ DU FROID SOLAIRE
  - SUBSTITUTION DU SOLAIRE À L'ÉLECTRICITÉ
    - TENDANCES ACTUELLES
    - CONCLUSIONS
    - Annexes

Laboratoire d'Informatique pour la Mécanique et les Sciences de l'Ingénieur

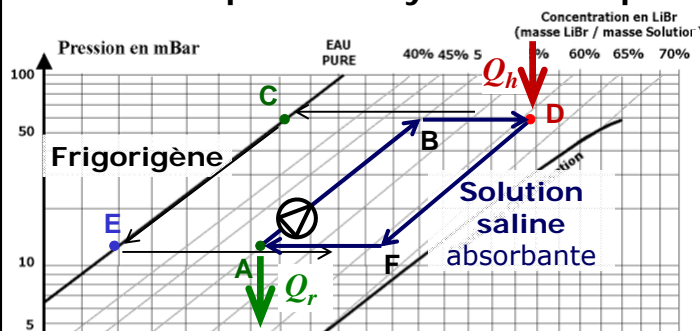
Master 2 OMEBA



2



## Description du cycle à absorption liquide



**ABDFA :**  
Cycle de la solution saline.

**[BD]CE[AF]AB :**  
Cycle du frigorigène

**AB :**  
solution LiBr+H<sub>2</sub>O  
riche en eau,  
pauvre en sel

**DE :**  
solution LiBr+H<sub>2</sub>O  
pauvre en eau,  
riche en sel

**Pompe de circulation**

**ABD :** Chauffage ( $Q_h$ ) de la solution LiBr+H<sub>2</sub>O, d'abord pour la **pressuriser** (isostère AB) puis pour **désorber** la vapeur (BD); **condensation** en C.

**DEA :** Refroidissement ( $Q_r$ ) de la solution, d'abord pour la **dépressuriser** (isostère DF) puis pour **absorber** la vapeur (FA); **évaporation** en E.

Laboratoire d'Informatique pour la Mécanique et les Sciences de l'Ingénieur

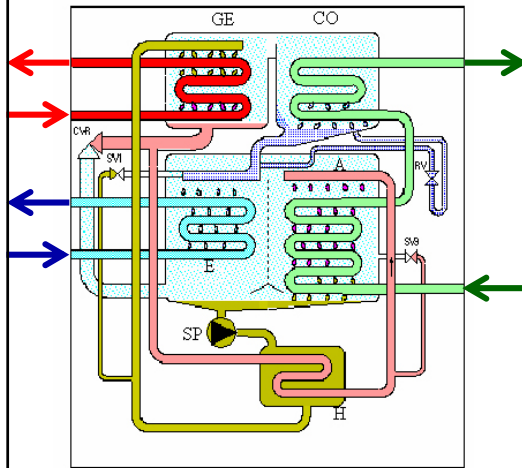
Master 2 OMEBA



3



## Schéma machine Yazaki 35-100 kW<sub>fd</sub>



- GE : Générateur
- A : Absorbeur
- CO : Condenseur
- E : Évaporateur
- SP : Pompe de solution
- H : Échangeur de chaleur
- RV : vanne de réfrigérant
- SV : vanne électromagnétique

Laboratoire d'Informatique pour la Mécanique et les Sciences de l'Ingénieur

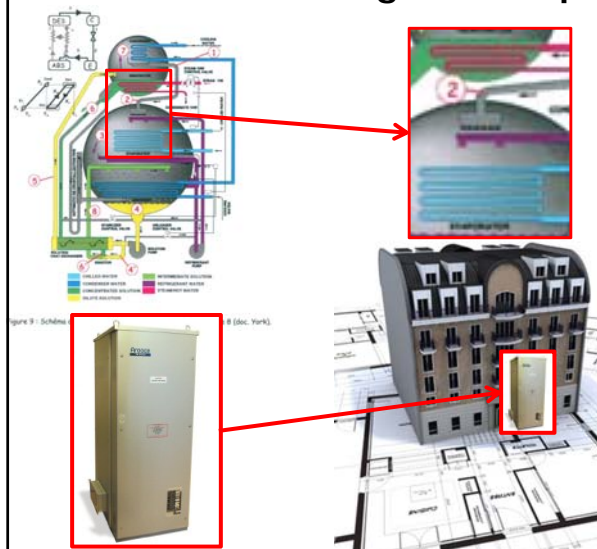
Master 2 OMEBA



4



## Une technologie aux aspects multiples



1. Analyse des transferts internes

Efficacité énergétique

2. Intégration dans un bâtiment

Laboratoire d'Informatique pour la Mécanique et les Sciences de l'Ingénieur

Master 2 OMEBA



5



- RAPPELS

- BILANS D'ÉNERGIE, SUITE DU COURS No 1
- LE RAFRAICHISSEMENT PAR ÉVAPORATION, DIRECTE OU INDIRECTE
- LE RAFRAÎCHISSEMENT PAR CYCLE DESSICCANT
  - HISTORIQUE ET RÉALITÉ DU FROID SOLAIRE
  - SUBSTITUTION DU SOLAIRE À L'ÉLECTRICITÉ
    - TENDANCES ACTUELLES
    - CONCLUSIONS
    - Annexes

Laboratoire d'Informatique pour la Mécanique et les Sciences de l'Ingénieur

Master 2 OMEBA



6



- PRINCIPES GÉNÉRAUX DE LA RÉFRIGÉRATION, RAPPELS
- RÉFRIGÉRATION SOLAIRE : PRINCIPES GÉNÉRAUX, CAPTEURS SOLAIRES
  - CYCLES ET MACHINES À SORPTION
    - Deux équilibres liquide-vapeur - Cycle à absorption liquide
    - Performances et intégration au bâtiment : calcul, dépendances, exercices
- SUITE EN JANVIER
  - ANNEXES

Laboratoire d'Informatique pour la Mécanique et les Sciences de l'Ingénieur

Master 2 OMEBA



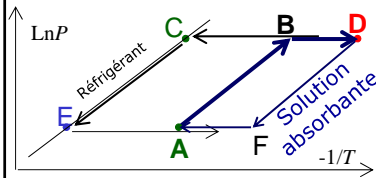
7





## Le cycle à absorption liquide : bilans de chaleur

### 2. Chaleur fournie par la source chaude (1)



Connaissant le débit de solution sortant de l'absorbeur et les points A, D, C, E, calcul de la **puissance thermique fournie par la source chaude** (reçue par la solution entre ? et ?)

$$\dot{m}_{sol,-} = \dot{m}_s / x_- = \dot{m}_s \cdot (1 + w_-)$$

Deux étapes : ? -> ? et ? -> ?

1. **Phase isostérique** -> compositions  $x$  et  $w$  constantes, pas de changement de phase, débit de solution constant. La chaleur reçue se transforme uniquement en chaleur sensible (augmentation de température).

$$\dot{q}_{h1} = \int \dot{m}_{sol} \cdot dh = \dot{m}_s \cdot (1 + w_A) \cdot \int c_{p_{sol}(w_A, T)} \cdot dT = \dot{m}_s \cdot (1 + w_A) \cdot \overline{c_{p_{solAB}}} \cdot (T_B - T_A)$$

Laboratoire d'Informatique pour la Mécanique et les Sciences de l'Ingénieur

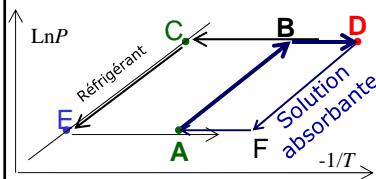
Master 2 OMEBA

10



## Le cycle à absorption liquide : bilans de chaleur

### 2. Chaleur fournie par la source chaude (2)



Connaissant le débit de solution sortant de l'absorbeur et les points A, D, C, E, calcul de la **puissance thermique fournie par la source chaude** (reçue par la solution entre ? et ?)

Étape 2

2. **Phase isobare** -> Augmentation de température, Compositions :  $x$  croît,  $w$  décroît, de l'eau est désorbée ; le débit de solution décroît : chaleur sensible ET chaleur latente (cf. pl 44).

$$\dot{q}_{h2} = \int (\dot{m}_{sol} \cdot c_{p_{sol}(w, T)} \cdot dT + \Delta H \cdot d\dot{m}_{sol}) = \int \dot{m}_s \cdot (1 + w) \cdot \overline{c_{p_{solBD}}} \cdot dT + \int \Delta H \cdot d[\dot{m}_s \cdot (1 + w)]$$

$$\dot{q}_{h2} = \dot{m}_s \cdot (1 + w_{BD}) \cdot \overline{c_{p_{solBD}}} \cdot (T_D - T_B) + \overline{\Delta H} \cdot \dot{m}_s \cdot (w_D - w_B) \quad \Delta H \cdot (w_D - w_B) > 0$$

3. -> Addition :  $\dot{q}_H = \dot{q}_{h1} + \dot{q}_{h2}$

$$COP = \frac{\dot{q}_E}{\dot{q}_H}$$

Laboratoire d'Informatique pour la Mécanique et les Sciences de l'Ingénieur

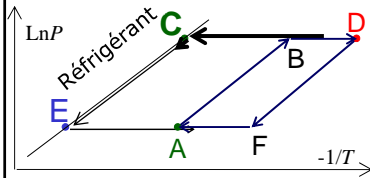
Master 2 OMEBA

11



## Le cycle à absorption liquide : bilans de chaleur

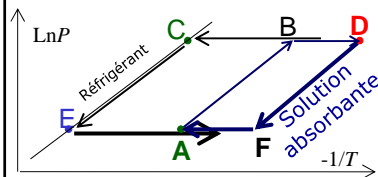
### 3. Chaleur échangée par le condenseur



Connaissant le débit de *solution* sortant de l'absorbeur et les points A, D, C, E, calcul de la **puissance thermique échangée au condenseur**.

$$\dot{q}_C$$

### 4. Chaleur rejetée par l'absorbeur



Connaissant le débit de *solution* sortant de l'absorbeur et les points A, D, C, E, calcul de la **puissance thermique rejetée par l'absorbeur à la source à température intermédiaire**

$$\dot{q}_A$$

- Voir les équations en annexe.

Laboratoire d'Informatique pour la Mécanique et les Sciences de l'Ingénieur

Master 2 OMEBA

12



## Bilan d'énergie en régime stationnaire

- Bilan premier principe en tenant compte de l'énergie mécanique apportée par le circulateur de solution :

$$\dot{q}_E + \dot{q}_H + \dot{q}_C + \dot{q}_A + \dot{w}_p = 0$$

- $w_p$  (consommation du circulateur de solution) est nettement plus faible que les différents flux de chaleur  $q_j$ , en particulier quand le réfrigérant est de l'eau.

$$COP = \dot{q}_E / \dot{q}_H$$

Laboratoire d'Informatique pour la Mécanique et les Sciences de l'Ingénieur

Master 2 OMEBA

13



## Quelques exemples de COP

### Sources de chaleur à 85, 35 et 5°C

- COP cycle simple-effet sans récupération : 0,67
- *COP cycle simple-effet avec récupération : 0,8*

### Sources de chaleur à 60, 25 et 5°C

- COP cycle simple effet avec récupération : 0,87

### Sources de chaleur à 100, 30 et 5°C

- COP cycle simple effet avec récupération : 0,86

Laboratoire d'Informatique pour la Mécanique et les Sciences de l'Ingénieur

Master 2 OMEBA



14



## Intégration dans un bâtiment



- Apport de chaleur par capteurs solaires
- Refroidissement par air extérieur via une tour de refroidissement, sèche ou humide
- Froid distribué via un circuit d'eau froide
  - dans des ventilo-convecteurs
  - ou dans une gaine de ventilation (HX eau-air)
- Possibilité de stockages, chaud ou froid

Laboratoire d'Informatique pour la Mécanique et les Sciences de l'Ingénieur

Master 2 OMEBA

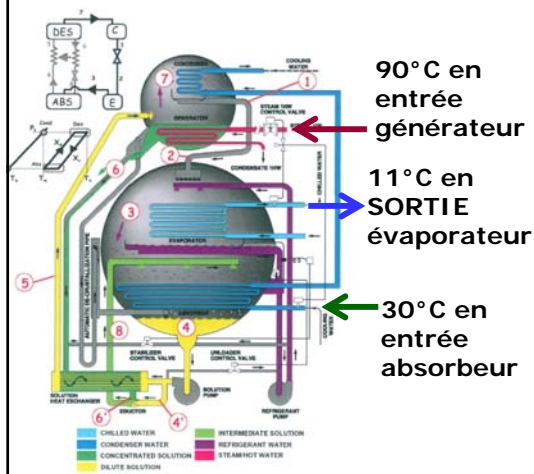


15





## Variations autour du fonctionnement nominal (données constructeur).



90°C en  
entrée  
générateur

11°C en  
SORTIE  
évaporateur

30°C en  
entrée  
absorbeur

- Températures de référence : 11, 30 et 90°C.

- Puissance frigorifique nominale : 30 kW.

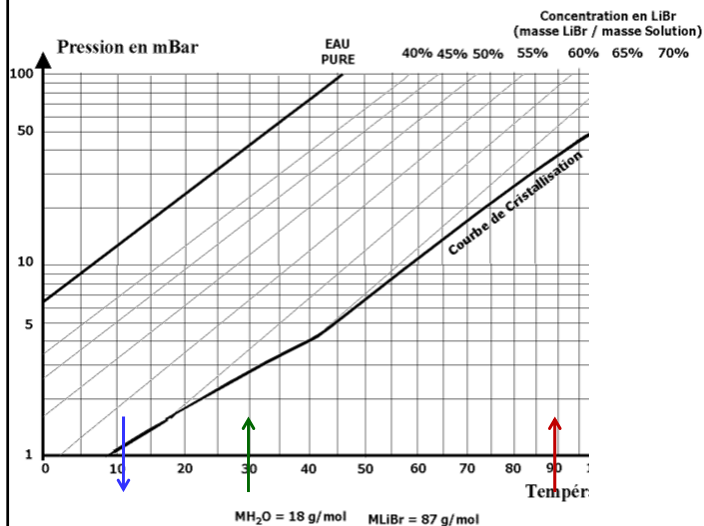
Laboratoire d'Informatique pour la Mécanique et les Sciences de l'Ingénieur

Master 2 OMEBA

16



## Cycle nominal [11<sub>out</sub>, 30<sub>in</sub>, 90<sub>in</sub> °C, 30 kW]



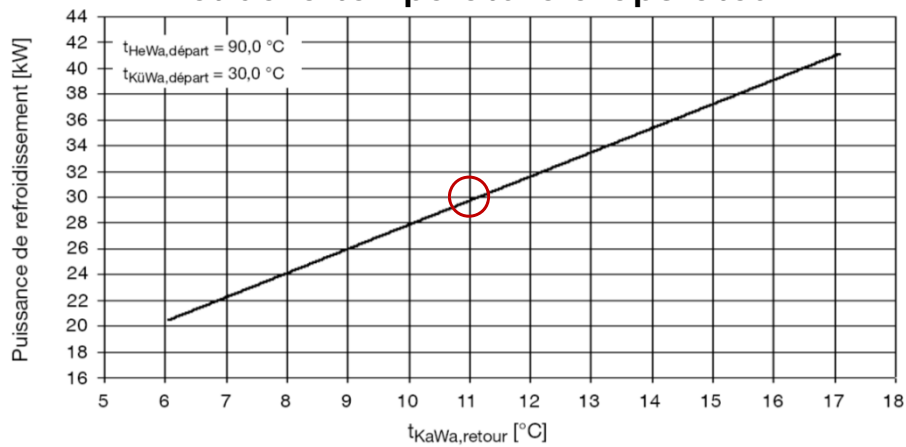
Laboratoire d'Informatique pour la Mécanique et les Sciences de l'Ingénieur

Master 2 OMEBA

17



## Effet de la température évaporateur



- Cycle nominal : 11°C, 30°C, 90°C.
- Puissance de refroidissement en fonction de température sortie échangeur évaporateur.

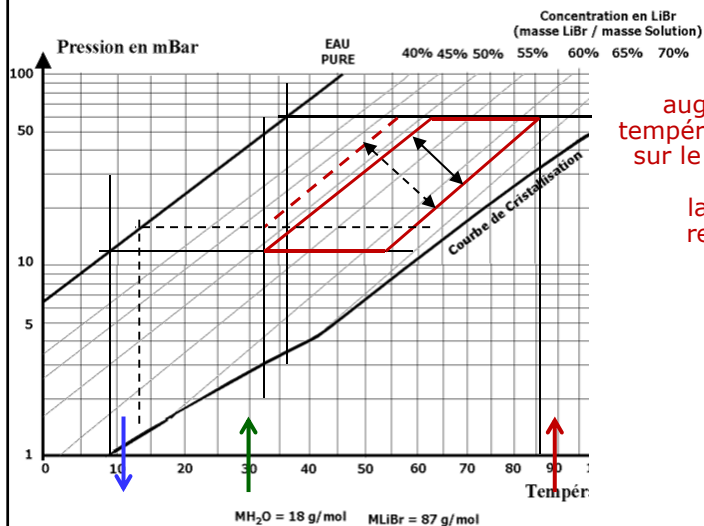
Laboratoire d'Informatique pour la Mécanique et les Sciences de l'Ingénieur

Master 2 OMEBA

18



## Représentation dans diagramme de Clapeyron



Effet d'une augmentation de la température évaporateur sur le débit d'eau cyclée et donc sur la puissance de refroidissement

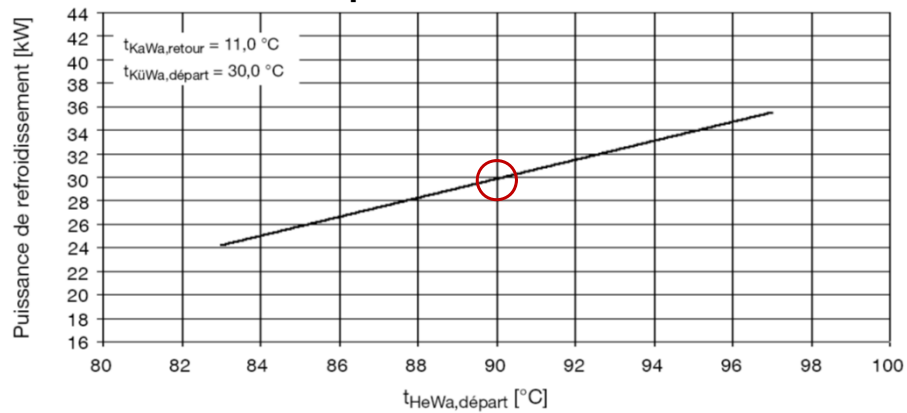
Laboratoire d'Informatique pour la Mécanique et les Sciences de l'Ingénieur

Master 2 OMEBA

19



## Effet de la température de source chaude



- Cycle nominal : 11°C, 30°C, 90°C.
- Puissance de refroidissement en fonction de température entrée échangeur générateur.

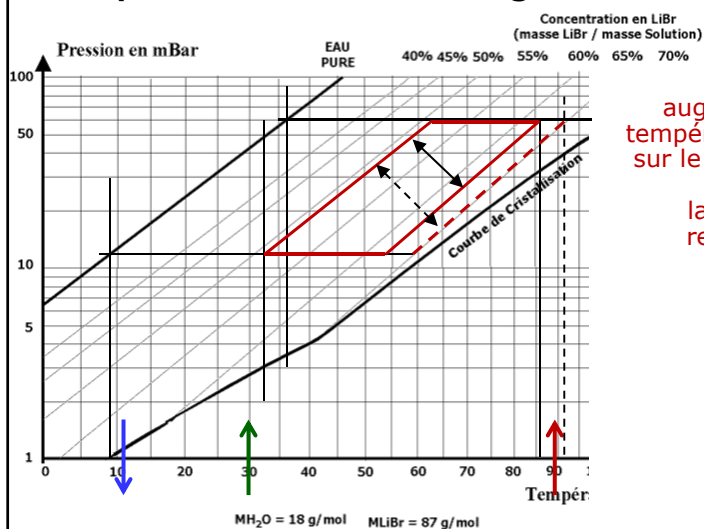
Laboratoire d'Informatique pour la Mécanique et les Sciences de l'Ingénieur

Master 2 OMEBA

20



## Représentation dans diagramme de Clapeyron



Effet d'une augmentation de la température **générateur** sur le débit d'eau cyclée et donc sur la puissance de refroidissement

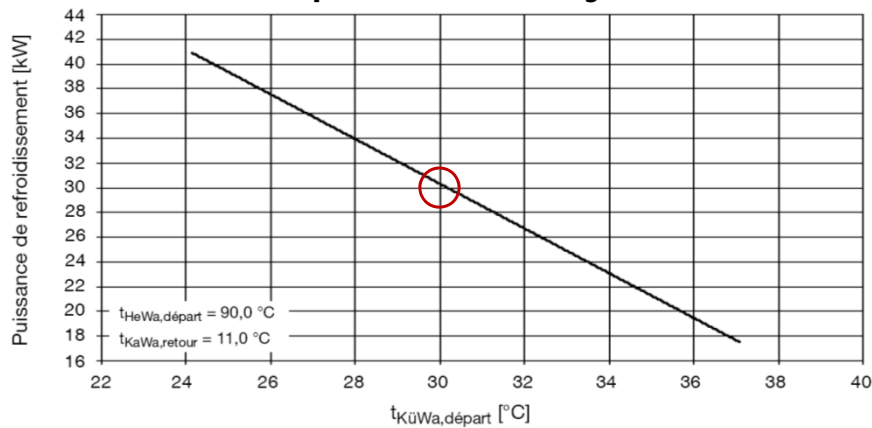
Laboratoire d'Informatique pour la Mécanique et les Sciences de l'Ingénieur

Master 2 OMEBA

21



## Effet de la température des rejets de chaleur



- Cycle nominal : 11°C, 30°C, 90°C.
- Puissance de refroidissement en fonction de température entrée échangeur absorbeur.

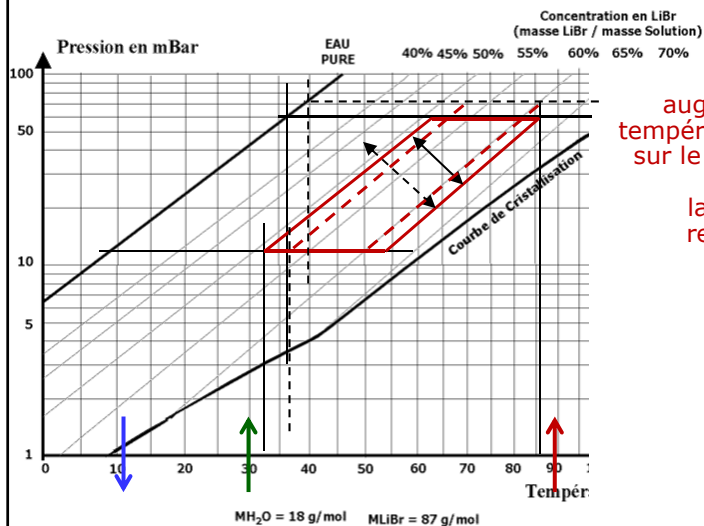
Laboratoire d'Informatique pour la Mécanique et les Sciences de l'Ingénieur

Master 2 OMEBA

22



## Représentation dans diagramme de Clapeyron



Effet d'une augmentation de la température évaporateur sur le débit d'eau cyclée et donc sur la puissance de refroidissement

Laboratoire d'Informatique pour la Mécanique et les Sciences de l'Ingénieur

Master 2 OMEBA

23



## Exercice

- À partir du fonctionnement nominal, comment compenser une augmentation de  $+4^{\circ}\text{C}$  de la température extérieure en gardant la même puissance de refroidissement ...
- 1. ... en variant la température de l'évaporateur : quelle nouvelle valeur ?
- 2. ... ou bien en variant la température du générateur : quelle nouvelle valeur ?
- 3. ... ou encore en variant ces deux températures de la même quantité : quelles nouvelles valeurs ?
- Avec ce que vous savez de l'énergétique des capteurs solaire et de l'énergétique des bâtiments, la compensation du cas No 3 est-elle cohérente ? Pourquoi ?

Laboratoire d'Informatique pour la Mécanique et les Sciences de l'Ingénieur

Master 2 OMEBA

24



-

## • RAPPELS

- BILANS D'ÉNERGIE, SUITE DU COURS No 1
- **LE RAFRAÎCHISSEMENT PAR ÉVAPORATION, DIRECTE OU INDIRECTE**
- LE RAFRAÎCHISSEMENT PAR CYCLE DESSICCANT
- HISTORIQUE ET RÉALITÉ DU FROID SOLAIRE
- SUBSTITUTION DU SOLAIRE À L'ÉLECTRICITÉ
  - TENDANCES ACTUELLES
  - CONCLUSIONS
  - Annexes

Laboratoire d'Informatique pour la Mécanique et les Sciences de l'Ingénieur

Master 2 OMEBA

25



## L'air non-saturé

- Qu'est-ce que "l'air non-saturé" ?
- Combien de degrés de liberté (règle des phases) ? Lesquels ?
- Y a-t-il des limites aux choix possibles ?
- Pression partielle vapeur d'eau

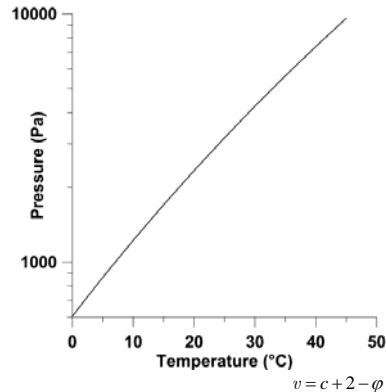
$$\frac{p_w}{p_{tot}} = \frac{x_w}{x_w + 0.622}$$

- Taux d'humidité relative

$$w_{\%} = \frac{p_w}{p_{sat}(T)}$$

- Enthalpie

$$h = 2502 \times x_w + (1.005 + 1.90 \times x_w) \times (T - 273.15)$$



Laboratoire d'Informatique pour la Mécanique et les Sciences de l'Ingénieur

Master 2 OMEBA

26



## Mise en présence d'air non-saturé et d'eau liquide à la même température

- Que se passe-t-il ? Masse ? Énergie ?
- Variation d'enthalpie ?

$$dx_w [2502 + (1.9 - 4.185)(T - 273.15)] + (1.005 + 1.9x_w) dT = 0$$

$$dx_w [2502 + 1.9(T - 273.15)] + (1.005 + 1.9x_w) dT = 4.185(T - 273.15) dx_w$$

$$dh = 4.185(T - 273.15) dx_w \approx 0$$

$v = c + 2 - \phi$

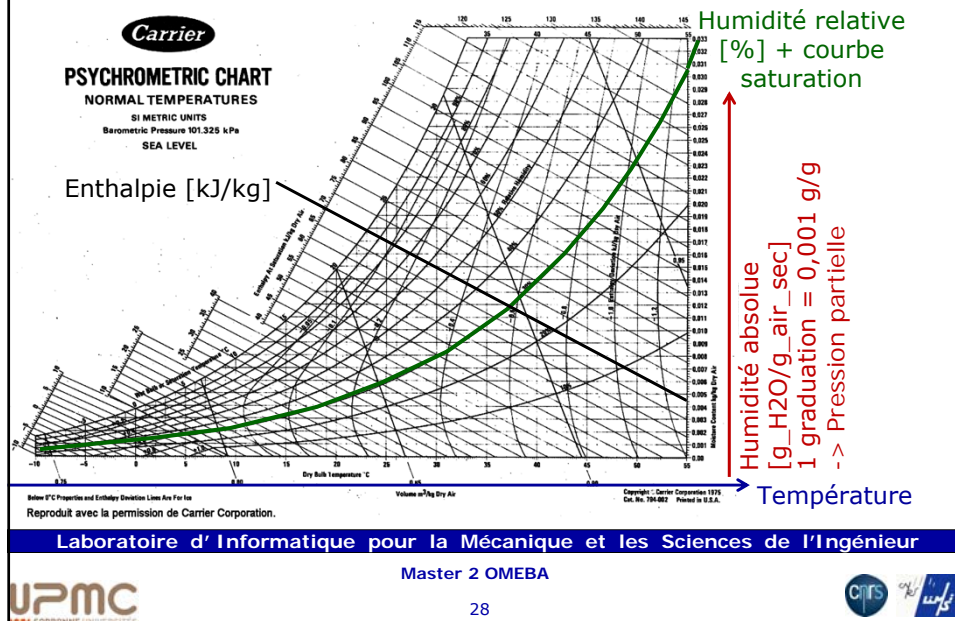
Laboratoire d'Informatique pour la Mécanique et les Sciences de l'Ingénieur

Master 2 OMEBA

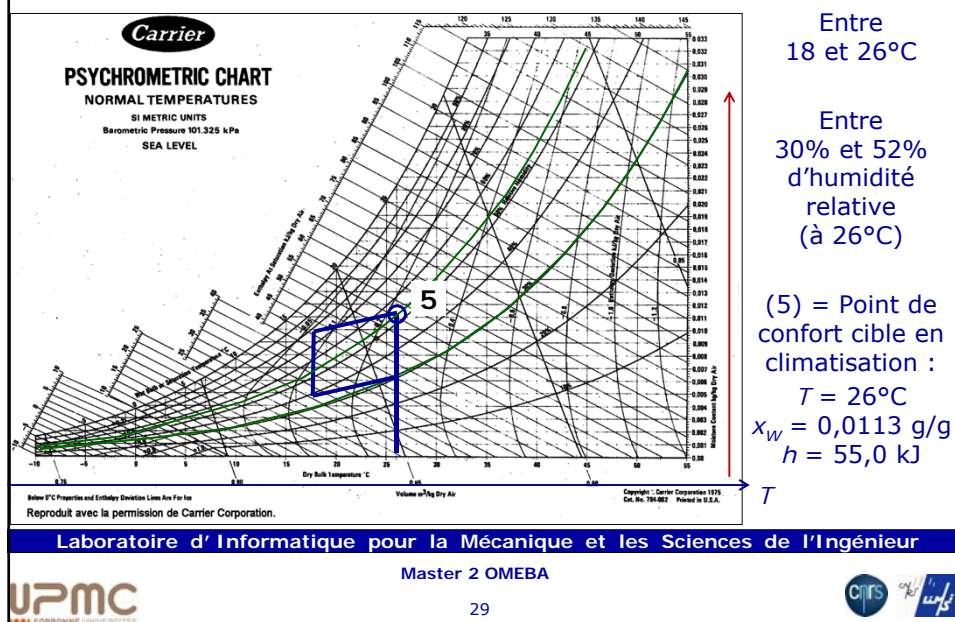
27



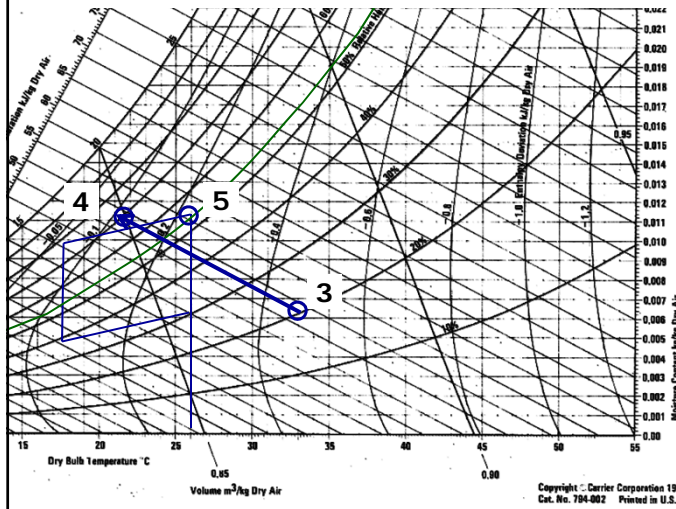
## Le diagramme psychrométrique (de l'air humide, de Carrier)



## Zone de confort dans diagramme air humide



## Rafrâichissement par évaporation directe



Air extérieur (3),  
pas trop chaud  
ou assez sec,  
humidifié pour que  
l'air soufflé (4) soit  
plus frais que le point  
cible (5) sans  
contenir plus d'eau.

$$T_4 < T_5 ; x_{w4} \leq x_{w5}$$

Pourquoi ces  
conditions ?

T

Laboratoire d'Informatique pour la Mécanique et les Sciences de l'Ingénieur

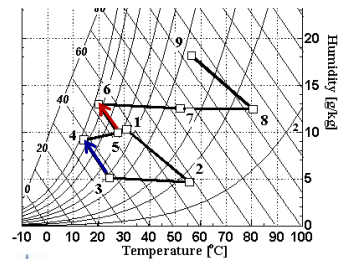
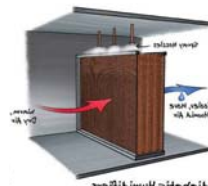
Master 2 OMEBA

30



## Humidificateurs

- **Humidificateur** : Enceinte où de l'eau liquide (en film, en gouttelettes, en brouillard) se vaporise dans le flux d'air traversant.
- Il faut un système de distribution / brumisation de l'eau liquide.
- Il y a de fortes contraintes sanitaires.



Air non saturé

VAPORISATION

Air rafraîchi et humidifié,  
éventuellement saturé

Laboratoire d'Informatique pour la Mécanique et les Sciences de l'Ingénieur

Master 2 OMEBA

31





## Avec l'exemple du diagramme planche 30

- Comment s'exprime le froid produit ?
- Pour avoir 30 kW de froid :
  - Quel débit d'air ?
  - Si vitesse =  $1 \text{ m.s}^{-1}$ ,  
quelle section de conduit ?
  - Quelle consommation d'eau ?

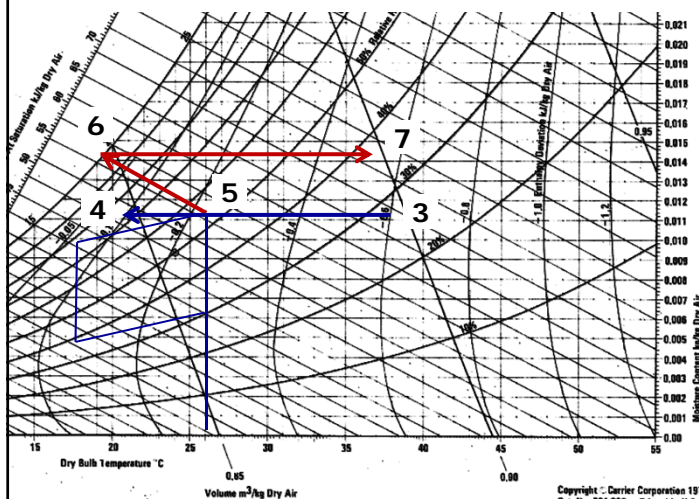
Laboratoire d'Informatique pour la Mécanique et les Sciences de l'Ingénieur

Master 2 OMEBA

32



## Rafrâichissement par évaporation indirecte



Deux étapes,  
deux appareils :

**a** : Humidification  
de l'air **extrait**  
jusqu'à saturation  
(5 ->6).

**b** : Échange de  
chaleur sensible  
entre air extrait et  
air soufflé :  
(6->7) <-> (3->4).

Conditions sur  
humidité extérieure

$$x_{w3} \leq x_{w5}$$

Température  $T_3$   
moins contrainte.

Laboratoire d'Informatique pour la Mécanique et les Sciences de l'Ingénieur

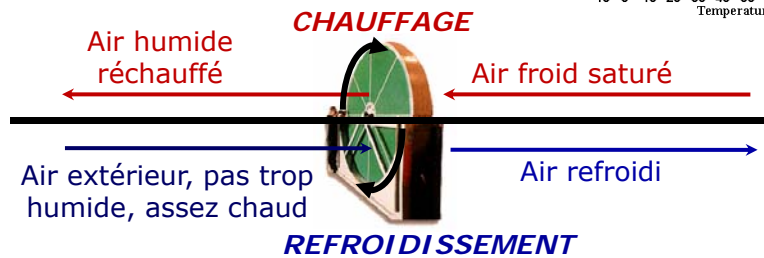
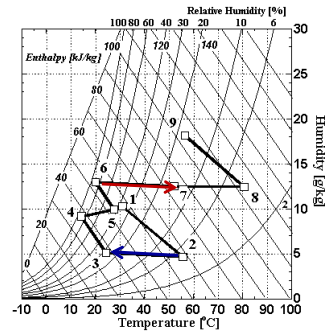
Master 2 OMEBA

33



## Échangeur rotatif inerte

- Échangeur rotatif « régénérateur » (échange de chaleur sensible).
- *Matériau poreux, perméable dans une direction et inerte (typiquement en aluminium), plus deux « balais » qui définissent deux secteurs.*



Laboratoire d'Informatique pour la Mécanique et les Sciences de l'Ingénieur

Master 2 OMEBA

34



## Avec l'exemple du diagramme planche 33

- Comment s'exprime le froid produit ?
- Pour avoir 30 kW de froid :
  - Quel débit d'air ?
  - vitesse =  $1 \text{ m.s}^{-1}$ , section de conduit ?
  - Quelle consommation d'eau ?

Laboratoire d'Informatique pour la Mécanique et les Sciences de l'Ingénieur

Master 2 OMEBA

35



# Combinaison vaporisation directe + indirecte

Trois étapes :

- a : Humidification de l'air extrait jusqu'à saturation (5 ->6).
- b : Échange de chaleur sensible entre air extrait et air soufflé (6->7) <-> (2->3).
- c : Humidification de l'air soufflé jusqu'à  $x_{w5}$  (3 ->4).

Condition air ext. :  $x_{w2} < x_{w5}$ .

Laboratoire d'Informatique pour la Mécanique et les Sciences de l'Ingénieur

Master 2 OMEBA

UPMC

36

# Assemblage en centrale de traitement d'air

Air extérieur

Air intérieur à climatiser

Ventilateurs

Humidificateurs  
sur les deux flux d'air  
(= production de froid)

Exhaust air

Room exhaust air

Humidifier

Exterior air

Room inlet air

Heat recovery

Laboratoire d'Informatique pour la Mécanique et les Sciences de l'Ingénieur

Master 2 OMEBA

UPMC

37

CNRS

### Avec l'exemple du diagramme planche 36

- Comment s'exprime le froid produit ?
- Pour avoir 30 kW de froid :
  - Quel débit d'air ?
  - $vitesse = 1\text{m.s}^{-1}$ , section de conduit ?
  - Quelle consommation d'eau ?

Laboratoire d'Informatique pour la Mécanique et les Sciences de l'Ingénieur

Master 2 OMEBA

38



-

- RAPPELS
  - BILANS D'ÉNERGIE, SUITE DU COURS No 1
  - LE RAFRAÎCHISSEMENT PAR ÉVAPORATION, DIRECTE OU INDIRECTE
- **LE RAFRAÎCHISSEMENT PAR CYCLE DESSICCANT**
  - HISTORIQUE ET RÉALITÉ DU FROID SOLAIRE
  - SUBSTITUTION DU SOLAIRE À L'ÉLECTRICITÉ
    - TENDANCES ACTUELLES
- CONCLUSIONS
  - Annexes

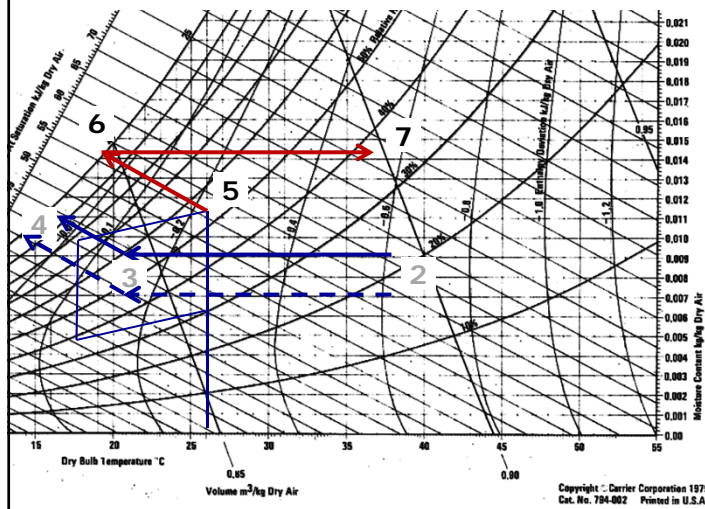
Laboratoire d'Informatique pour la Mécanique et les Sciences de l'Ingénieur

Master 2 OMEBA

39



## Intérêt de disposer d'un air sec à l'entrée



Assécher l'air au point (2) augmente les performances du système, surtout si l'air soufflé (4) doit être plus sec que l'air intérieur (5).

Notion de charge *latente*, afin d'extraire la vapeur d'eau émise par les occupants.

Laboratoire d'Informatique pour la Mécanique et les Sciences de l'Ingénieur

Master 2 OMEBA

40



## Rafrâichissement par cycle dessiccant

- Recommandé pour extraire de la charge *latente*, ou quand l'air extérieur est trop humide pour pouvoir être suffisamment refroidi par vaporisation.
- L'air extérieur est « asséché » en étant mis au contact d'un ad/ab-sorbant (solide ou liquide) : l'humidité de l'air est ad/ab-sorbée.
- Mais :
  1. La chaleur dégagée par l'adsorption chauffe l'air ainsi traité.
  2. Il faut régénérer le sorbant = désorber cette eau fixée = chauffer le sorbant.
 Il faut alors apporter de la chaleur au procédé : consommation énergétique.

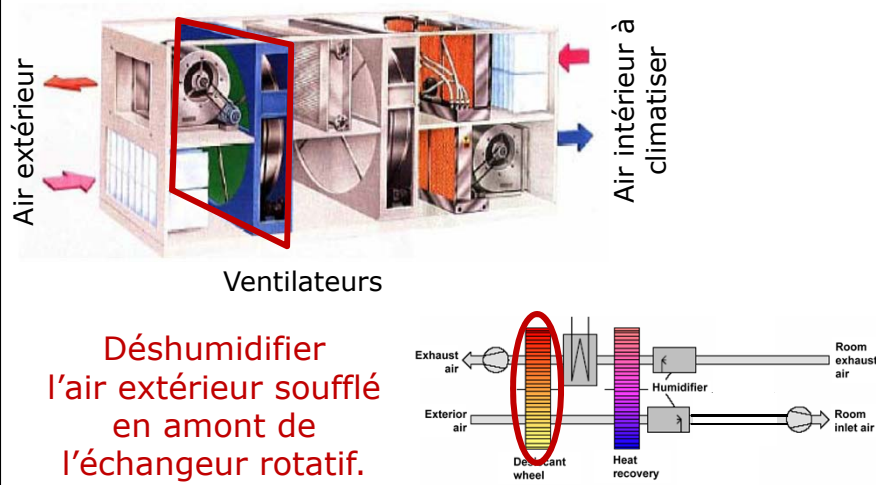
Laboratoire d'Informatique pour la Mécanique et les Sciences de l'Ingénieur

Master 2 OMEBA

41



## La roue dessiccante : son rôle



Laboratoire d'Informatique pour la Mécanique et les Sciences de l'Ingénieur

Master 2 OMEBA

42



## La roue dessiccante : description

- C'est le composant principal



- *Matrice poreuse (perméable) inerte dont les parois sont recouvertes d'un sorbant, plus deux « balais », qui définissent deux secteurs.*
- **Gel de silice** = adsorbant le plus couramment utilisé (parfois le sel LiCl)

Laboratoire d'Informatique pour la Mécanique et les Sciences de l'Ingénieur

Master 2 OMEBA

43





## les gels de silice

- Polymère d'acide silicique  $\text{Si}(\text{OH})_4$  obtenu à partir de silicate de sodium.
- La taille des pores dépend du procédé de fabrication, elle va des micropores aux macropores.
- Poudre ou grains millimétriques sans liant.



Laboratoire d'Informatique pour la Mécanique et les Sciences de l'Ingénieur

Master 2 OMEBA

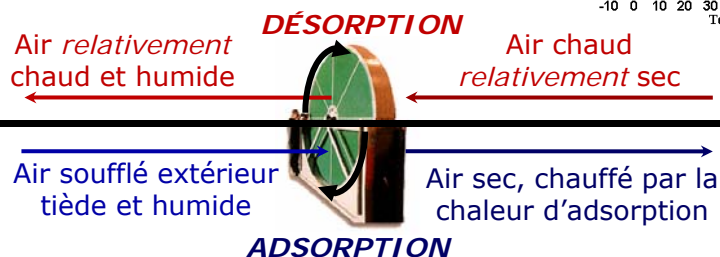
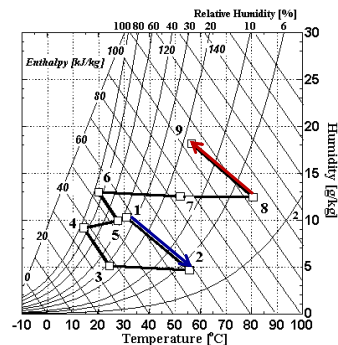


44



## L' action de la roue dessiccante.

- Elle transfère l'humidité depuis l'air soufflé (traité) vers l'air repris, extrait, et rejeté plus humide.



Plus l'air extérieur est déshumidifié, plus la « charge frigorifique » peut être importante.

Laboratoire d'Informatique pour la Mécanique et les Sciences de l'Ingénieur



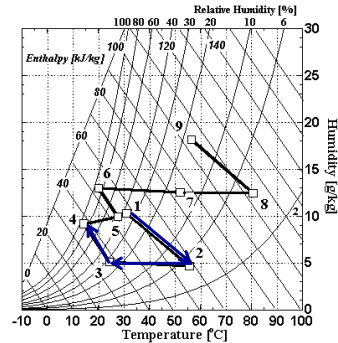
Master 2 OMEBA

45



## Circuit de l'air *soufflé*

- 1-2 : Passage dans la roue dessiccante  
Diminution de l'humidité contenue,  
et augmentation de température.
- 2-3 : Préréfroidissement par passage  
dans l'échangeur rotatif inerte.
- 3-4 : refroidissement par vaporisation-humidification.
- On obtient un air nettement plus frais que conditions de confort  
(extraction de chaleur de l'ambiance intérieure)  
éventuellement un peu moins humide (ou plus)  
que l'ambiance intérieure.



Laboratoire d'Informatique pour la Mécanique et les Sciences de l'Ingénieur

Master 2 OMEBA

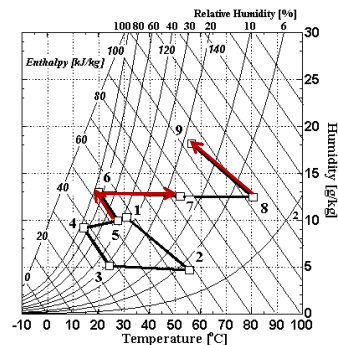


46



## Circuit de l'air *extraît*

- 5-6 : refroidissement + humidification  
par vaporisation.
- 6-7 : Préchauffage dans échangeur  
rotatif inerte (récupération interne de  
chaleur).
- Utilisation de cet air préchauffé pour régénérer la roue  
dessiccante (en extraire l'eau fixée dans la phase 1-2).
- Mais cet air, assez humide, doit être suffisamment chauffé pour  
pouvoir extraire la même quantité d'eau (8-9).
- D'où la nécessité du chauffage (7-8) :  
apport de chaleur à température modérée (80-90°C).



Laboratoire d'Informatique pour la Mécanique et les Sciences de l'Ingénieur

Master 2 OMEBA

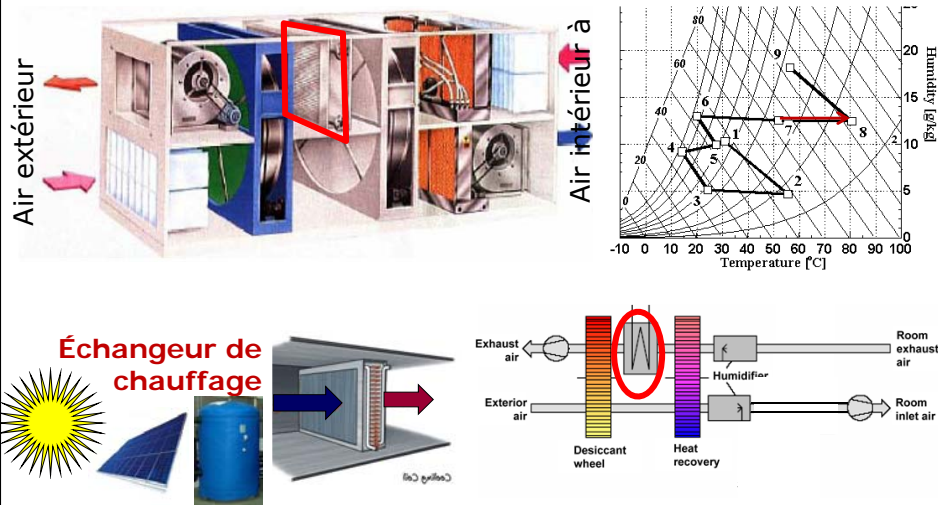


47





## L'apport de chaleur



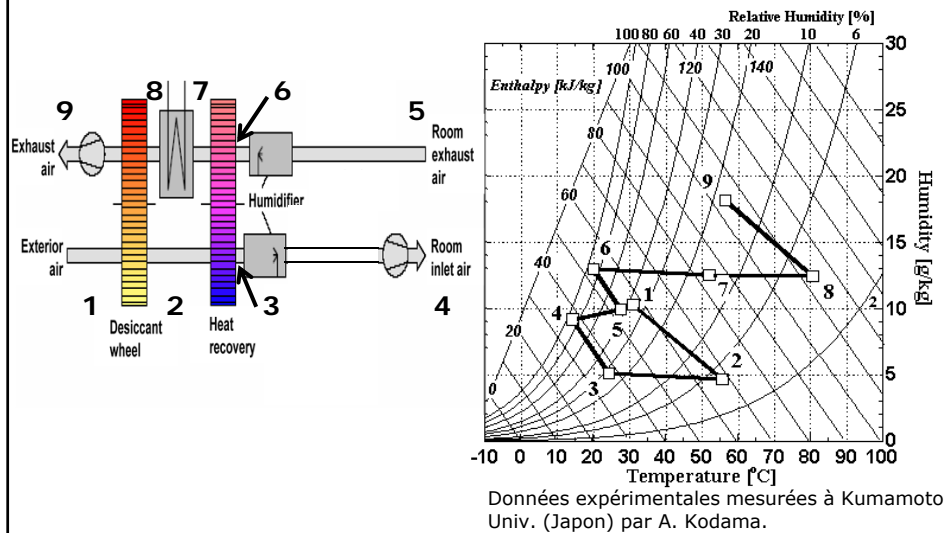
Laboratoire d'Informatique pour la Mécanique et les Sciences de l'Ingénieur

Master 2 OMEBA

48



## Fonctionnement du cycle



Données expérimentales mesurées à Kumamoto Univ. (Japon) par A. Kodama.

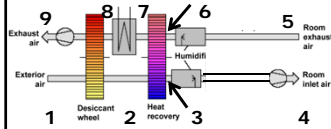
Laboratoire d'Informatique pour la Mécanique et les Sciences de l'Ingénieur

Master 2 OMEBA

49



## Performances



- COP thermodynamique =  $\frac{h_5 - h_4}{h_8 - h_7}$
- COP de l'ordre de 0,3 - 0,6 (selon les conditions extérieures).
- Fonctionne avec chaleur à assez basse température
- Pas de chaleur à évacuer (rejet d'air humide et chaud)
- Noter que le système refroidit aussi le débit d'air entrant (de 1 à 4), ce qui est utile à la ventilation : une partie de la diminution d'enthalpie ( $h_1 - h_4$ ) est aussi un effet utile de ces systèmes.

Laboratoire d'Informatique pour la Mécanique et les Sciences de l'Ingénieur

Master 2 OMEBA

50



## Les cycles à dessiccant ...

- ... travaillent directement sur l'air et son contenu en humidité (ce qui est parfaitement adapté à la climatisation et diminue le nombre d'échangeurs) ;
- ... ne nécessitent pas de tour de refroidissement (rejets à l'ambiante via le débit d'air chaud et humide) ;
- ... mais consomment de l'énergie mécanique pour soufflage et rotation des roues, idem *centrale de traitement d'air* mais avec débit beaucoup plus important.  
et de l'eau liquide rejetée à l'air extérieur sous forme vapeur.

Laboratoire d'Informatique pour la Mécanique et les Sciences de l'Ingénieur

Master 2 OMEBA

51



## État de l'art

- Assez développées industriellement et commercialisées aux USA, en Scandinavie, et au Japon (Munters), mais développement freiné en France par législation sur légionellose.
- Possibles avec **adsorption solide** (gel de silice), avec **thermochimie** (sel + H<sub>2</sub>O),  
et aussi avec **absorption liquide** (solution de LiBr)  
(pas de roue, mais *échangeurs liquide / air-humide* p.ex. par films ruisselants).

Laboratoire d'Informatique pour la Mécanique et les Sciences de l'Ingénieur

Master 2 OMEBA

52



-

- RAPPELS
  - BILANS D'ÉNERGIE, SUITE DU COURS No 1
  - LE RAFRAÎCHISSEMENT PAR ÉVAPORATION, DIRECTE OU INDIRECTE
- LE RAFRAÎCHISSEMENT PAR CYCLE DESSICCANT
  - HISTORIQUE ET RÉALITÉ DU FROID SOLAIRE
- SUBSTITUTION DU SOLAIRE À L'ÉLECTRICITÉ
  - TENDANCES ACTUELLES
  - CONCLUSIONS
  - Annexes

Laboratoire d'Informatique pour la Mécanique et les Sciences de l'Ingénieur

Master 2 OMEBA

53



## HISTORIQUE ET RÉALITÉ DU FROID SOLAIRE

- Le premier bloc de glace solaire (1878) et les premiers essais (avant 1960)
  - Les pionniers (années 60 et 70)
- Du laboratoire à l'industriel (années 80)
  - Le grand creux (années 90)
  - Le retour (années 2000) : autres techniques, autres objectifs  
îlots de chaleur urbains
- La climatisation solaire (2010)

Laboratoire d'Informatique pour la Mécanique et les Sciences de l'Ingénieur

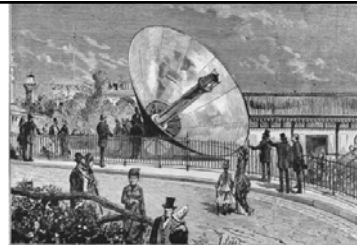
Master 2 OMEBA

54



### Du premier bloc de glace solaire

- Exposition universelle de Paris, 1878 : l'association du four solaire de Augustin Mouchot (1825-1912) et d'une machine à  $H_2O+NH_3$  (« de Carré ») permet d'obtenir un bloc de glace.



### ... aux tout premiers essais (avant 1960)

- **1936** : première réalisation, par Green à Univ. Florida (cylindro-paraboliques + cycle à éjection de vapeur).
  - 1937 : essai par des chercheurs brésiliens (réussi ??) (paraboliques + cycle à absorption).
- **1954** : succès, par Kirpichev et Baum, Russia (concentrateurs ? + machine Rankine + cycle à compression).
  - Concentrateurs
  - très faibles rendements.

Laboratoire d'Informatique pour la Mécanique et les Sciences de l'Ingénieur

Master 2 OMEBA

55

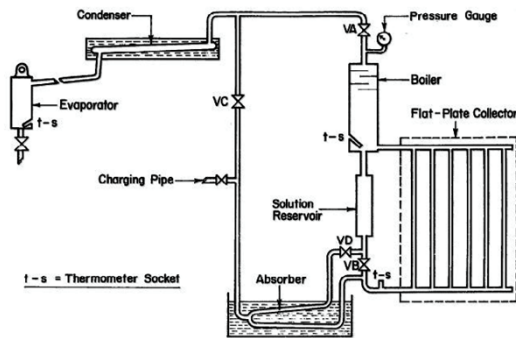


## Les pionniers (années 60-70) - 1

**1962 : Chinnappa**  
Univ. Colombo, Ceylan  
**capteurs plans**  
Cycle à absorption liquide  
 $H_2O + NH_3$  ; cycle  
intermittent jour-nuit

Jour : solution  $H_2O + NH_3$   
dans les capteurs solaires ->  
séparation de vapeur de  $NH_3$  (après  
rectification) -> condensation (refroidi  
par eau).

Nuit : évaporation de  $NH_3$  et  
réabsorption dans la solution  
(refroidie par eau).



[1,4 kg glace / (j.m<sup>2</sup>)].  
 $COP_{sol} \approx 0.02$

Laboratoire d'Informatique pour la Mécanique et les Sciences de l'Ingénieur

UPMC  
UNIVERSITÉ PARIS  
SAVOIR

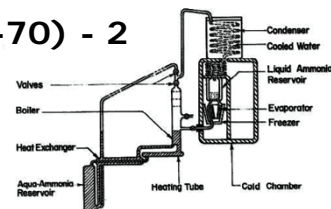
Master 2 OMEBA

56

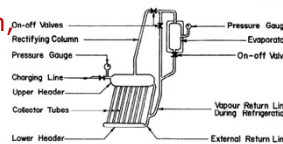


## Les pionniers (années 60-70) - 2

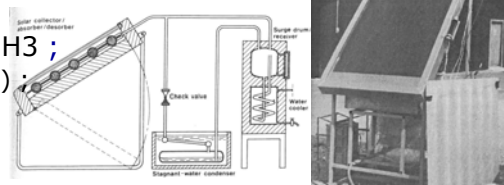
**1964 : Trombe & Foex,**  
CNRS-Odeillo, France ;  $H_2O + NH_3$  ;  
**capteurs cylindro-paraboliques**  
[4 kg glace / (j.m<sup>2</sup>)].



**1971 : Swartman & Swaminathan**  
Univ. Western Ontario, USA ;  
 $H_2O + NH_3$  ; **capteurs plans**



**1979 : Worsøe-Schmidt**  
Tech. Univ. Lyngby, DK ;  $CaCl_2 + NH_3$  ;  
**capteurs plans** [6 kg glace / (j.m<sup>2</sup>) ;  
 $COP_{sol} = 0.1$ ].



Laboratoire d'Informatique pour la Mécanique et les Sciences de l'Ingénieur

UPMC  
UNIVERSITÉ PARIS  
SAVOIR

Master 2 OMEBA

57



## Du laboratoire à l'industriel (années 80) - 1

- Cycles à **adsorption** solide-gaz  
(zéolite + eau [Z+E]; charbon-actif + méthanol [CA+M])  
**intermittents jour-nuit**  
(production de froid pendant la nuit seulement)
- **Usages bien définis :**  
réfrigérateurs / entrepôts frigorifiques / machines à glace.
- Avec **capteurs plans et plutôt autonomes**  
(quasiment sans énergie électrique).

Laboratoire d'Informatique pour la Mécanique et les Sciences de l'Ingénieur

Master 2 OMEBA

58



## Du laboratoire à l'industriel (années 80) – 2 du CNRS-Orsay (F. Meunier) ...



**1981 : réfrigérateur 0.8m<sup>2</sup> ; Z+E**  
 $COP_{sol} = 0.1$  (Meunier & Guillemot).

**1983 : entrepôt 20m<sup>2</sup> ; Z+E**  
 $COP_{sol} = 0.1$  (Guillemot, Meunier & al.  
Ph.G., A.C., I.I., M.P.).

**1986 : machine à glace 6m<sup>2</sup> ; CA+M**  
 $COP = 0.12$  [5-6 kg glace / (j.m<sup>2</sup>)]  
(Pons, Meunier & al. J.J.G., Ph.G., A.B.).



Laboratoire d'Informatique pour la Mécanique et les Sciences de l'Ingénieur

Master 2 OMEBA

59



## Du laboratoire à l'industriel (années 80) – 3 ... à Brissoneau et Lotz Marine (BLM)

### SOLAR REFRIGERATION UNIT GASPARD C200

#### PERFORMANCES

- Inside effective content of isothermal enclosure : 200 l.
- Inner temperature :  $\leq 4^{\circ}\text{F}$  ( $0^{\circ}\text{C}$ ).
- Accessory production of ice cubes.
- Conditions :
  - Maximum external temperature :  $109^{\circ}\text{F}$  ( $43^{\circ}\text{C}$ ) (tropical class / NF).
  - Minimum average sun exposure : 4,5 kWh/m<sup>2</sup> per day.
  - Insulation of isothermal coffer conforming with OMS specifications.



**1990 : réfrigérateur ou machine à glace de 1 ou 2 m<sup>2</sup> ; Z+E ou AC+M [4-5 kg glace / (j.m<sup>2</sup>)]**

(BLM & CNRS-Orsay, A.B. Univ. Agadir, J.J.G., M.P. & F.M.).



*Mode d'emploi : Tourner vers le soleil ; nettoyer la vitre quand nécessaire.*

Laboratoire d'Informatique pour la Mécanique et les Sciences de l'Ingénieur

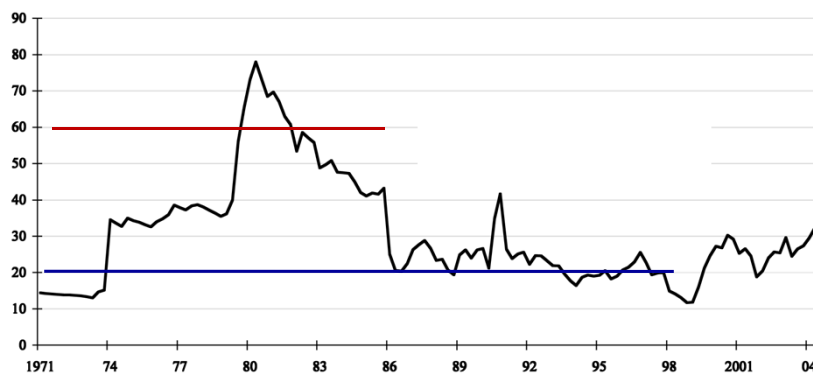
Master 2 OMEBA

60



## Le grand creux (années 90)

- Nombre de publications sur le froid solaire ?



Laboratoire d'Informatique pour la Mécanique et les Sciences de l'Ingénieur

Master 2 OMEBA

61





## Froid solaire, le retour ! (années 2000) - 1

### • Réfrigérateurs solaires à adsorption

- **HEIG-Vd** (Yverdon-les-Bains CH, Ph. Dind, C. Hildbrand, S. Citherlet) + **CEAS** Ouagadougou + **LIMSI** (Orsay, M.P.) + **SOLAREF** Le Bourget du Lac  
 \* Prototype expérimental :  $COP_{sol}=0.18$  !  
 \* Tentative de développement industriel.



- **Institute Refrigeration Cryogenics** (Shanghai, R.Z. Wang)  
 - Machine à glace ( $COP_{sol}=0.12$ )  
 - Refroidissement silo à grains (Gel Silice + H<sub>2</sub>O,  $COP_{sol}=0.1$ ).



Laboratoire d'Informatique pour la Mécanique et les Sciences de l'Ingénieur

UPMC  
UNIVERSITÉ PARIS  
SAVOIR

Master 2 OMEBA

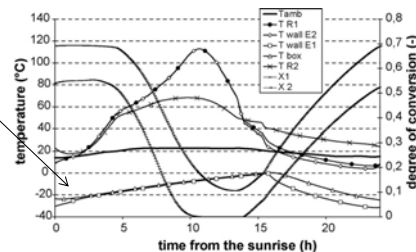
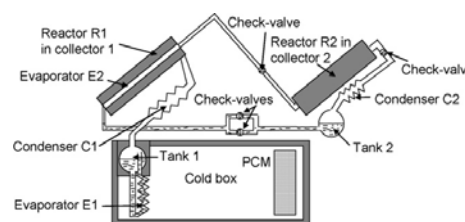
62



## Froid solaire, le retour ! (années 2000) - 2

### • Congélateur solaire à thermochimie

- **PROMES** (N. Le Pierrès, N. Mazet, D. Stitou, 2008)
  - BaCl<sub>2</sub> + NH<sub>3</sub>, double étage intermittent, T<sub>evap</sub> -> -20°C.
- Aussi **ITW Univ. Stuttgart** (Erhard, 1998) :
  - Capteur à concentration + SrCl<sub>2</sub> + NH<sub>3</sub>, intermittent ( $COP_{sol}=0.07$ ).



Laboratoire d'Informatique pour la Mécanique et les Sciences de l'Ingénieur

UPMC  
UNIVERSITÉ PARIS  
SAVOIR

Master 2 OMEBA

63





## Froid solaire, le retour ! (années 2000) – 3

D'autres objectifs, d'autres techniques

- Jusque 2000, machines conçues pour **refrigération** (conservation aliments ou vaccins en l'absence de fourniture électrique fiable) et qui **forment un tout** (p.ex. sorbant -liquide ou solide- chauffé directement dans capteur solaire).
- Après 2000, machines pour la **climatisation solaire**, afin de diminuer l'effet « îlot de chaleur urbain » et de substituer, au moins partiellement, une source renouvelable à l'électricité. Ces machines vont pouvoir utiliser des **composants existants par ailleurs**.

Laboratoire d'Informatique pour la Mécanique et les Sciences de l'Ingénieur

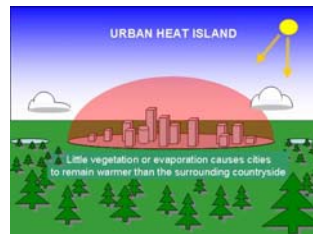
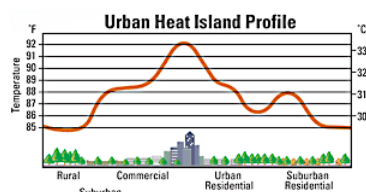
Master 2 OMEBA

64



## Les îlots de chaleur urbains

- Entre un centre-ville et sa périphérie, il existe une **différence systématique de quelques degrés Celsius**.
- Cause : l'énergie dégagée par l'activité humaine.
- En été, le phénomène « d'**îlot de chaleur urbain** », a une très forte interaction avec l'usage croissant de la climatisation (cf. USA, Athènes, ...).



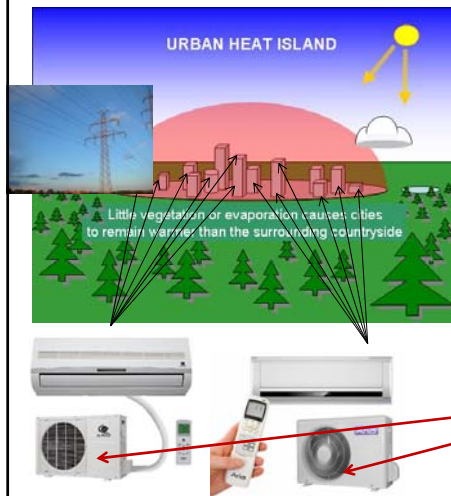
Laboratoire d'Informatique pour la Mécanique et les Sciences de l'Ingénieur

Master 2 OMEBA

65



## Le cercle vicieux de la climatisation (1)



- En centre-ville, il fait chaud (30-35°C, voire plus).
- De plus en plus de climatiseurs sont donc installés ;

ces climatiseurs consomment de l'électricité ...

... qui finalement se transforme en **chaleur rejetée dans l'air ambiant.**

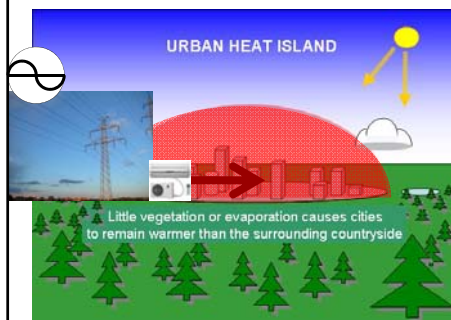
Laboratoire d'Informatique pour la Mécanique et les Sciences de l'Ingénieur

Master 2 OMEBA

66



## Le cercle vicieux de la climatisation (2)



**Deux conséquences :**

- (1) La température en centre-ville augmente,  
la puissance des climatiseurs augmente,  
ce qui augmente la consommation électrique.

- (2) L'écart de température entre espaces climatisés et air extérieur augmente,  
**l'efficacité des climatiseurs diminue,**  
ce qui augmente d'autant plus leur consommation électrique.

Laboratoire d'Informatique pour la Mécanique et les Sciences de l'Ingénieur

Master 2 OMEBA

67



## Solutions

- Diminuer les besoins en climatisation active (ventilation nocturne, toitures vertes, etc.)
- Faire fonctionner les climatiseurs avec de l'énergie déjà présente en ville : rejets thermiques si possible

ou énergie solaire.

Substituer le soleil à l'électricité



Laboratoire d'Informatique pour la Mécanique et les Sciences de l'Ingénieur

UPMC  
UNIVERSITÉ PARIS  
SORBONNE UNIVERSITÉ

Master 2 OMEBA

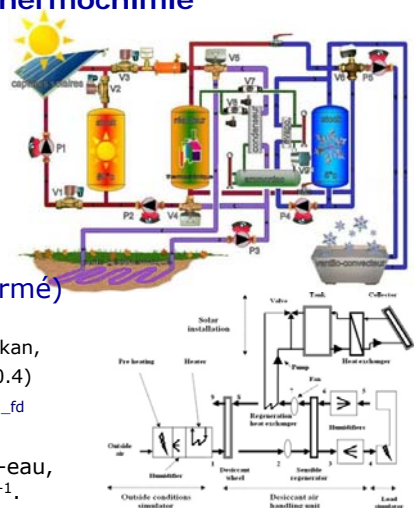
68



## Froid solaire, le retour ! (années 2000) - 4

### • Sorption solide - Thermochimie

- **PROMES** (G. Tanguy, N. Mazet & D. Stitou)  
BaCl<sub>2</sub>-NH<sub>3</sub>, intermittent,  
Stock froid (PCM à 5°C),  
 $COP_{sol} = 0.085$  ;  $0.43 \text{ kWh.m}^{-2}.\text{j}^{-1}$ .
- Capteurs solaires du commerce +  
machine frigorifique expérimentale



### • Adsorption (cycle dessiccant ou fermé)

- **LEPTIAB Univ. La Rochelle** (P. Bourdoukan, E. Wurtz, P. Joubert)  $COP_{sol} = 0.13$  ( $= 0.5 \times 0.4$ )  
 $COP_{el} = 3.6$  Consommation d'eau =  $4.5 \text{ l/kWh}_{fd}$
- Et encore : **TECSOL** (A. Le Denn) Gel de silice-eau, intermittent,  $COP_{sol} = 0.09$  ;  $0.50 \text{ kWh.m}^{-2}.\text{j}^{-1}$ .

Laboratoire d'Informatique pour la Mécanique et les Sciences de l'Ingénieur

UPMC  
UNIVERSITÉ PARIS  
SORBONNE UNIVERSITÉ

Master 2 OMEBA

69



## Froid solaire, le retour ! (années 2000) - 5

### • Sorption liquide

- **PIMENT** (F. Lucas, O. Marc)  
LiBr-H<sub>2</sub>O, continu,  
Stock froid (Eau),  
 $COP_{sol} = 0.17$  ;  $0.77 \text{ kWh.m}^{-2}.\text{j}^{-1}$ .
- **CEA-INES** (F. Boudehenn, G. Tanguy)  
LiBr-H<sub>2</sub>O, continu,  
 $COP_{sol} = 0.11$  ;  $0.55 \text{ kWh.m}^{-2}.\text{j}^{-1}$ .



- *Note : Valeurs données pour Climsol, Tecsol, Leptiab, Rafsol et Solera = moyennes expérimentales réalisées sur de longues périodes (> 1 mois).*

Laboratoire d'Informatique pour la Mécanique et les Sciences de l'Ingénieur

Master 2 OMEBA

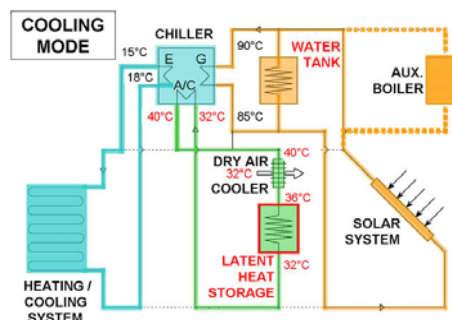
70



## Froid solaire, le retour ! (années 2000) - 6

### • A l'étranger

- **ZAE-Bayern** (C. Schweigler et al.)  
LiBr-H<sub>2</sub>O, continu,  
*Stock PCM entre rejets et air extérieur* pour améliorer le COP et diminuer consommation électrique, pas de  $COP_{sol}$  donné.



- *Mais aussi à T.U.Berlin ou Fraunhofer en Allemagne, et aussi en Espagne (Séville), en Chine, à Taiwan, en Autriche, en Italie ...*

Laboratoire d'Informatique pour la Mécanique et les Sciences de l'Ingénieur

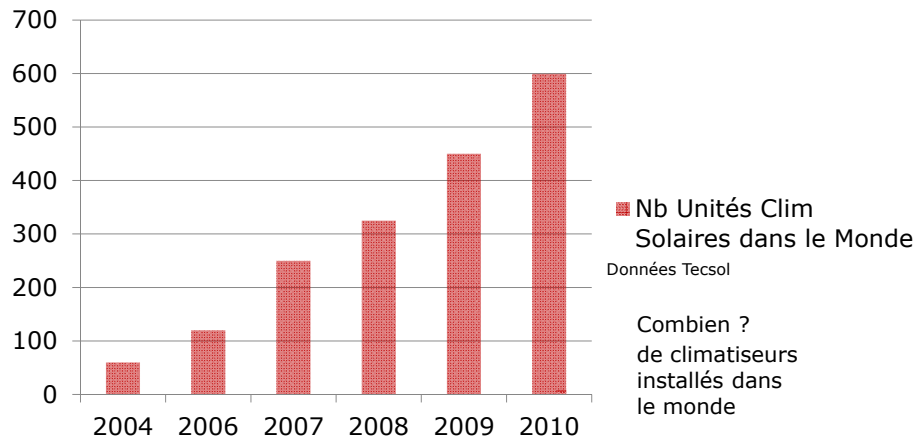
Master 2 OMEBA

71



## Un marché émergent

### Nb Unités Clim Solaires dans le Monde



Laboratoire d'Informatique pour la Mécanique et les Sciences de l'Ingénieur

Master 2 OMEBA

72



#### • RAPPELS

- BILANS D'ÉNERGIE, SUITE DU COURS No 1
- LE RAFRAÎCHISSEMENT PAR ÉVAPORATION, DIRECTE OU INDIRECTE
- LE RAFRAÎCHISSEMENT PAR CYCLE DESSICCANT
- HISTORIQUE ET RÉALITÉ DU FROID SOLAIRE
- **SUBSTITUTION DU SOLAIRE À L'ÉLECTRICITÉ**
  - TENDANCES ACTUELLES
  - CONCLUSIONS
  - Annexes

Laboratoire d'Informatique pour la Mécanique et les Sciences de l'Ingénieur

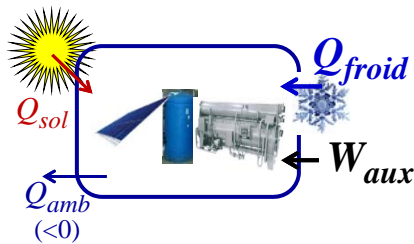
Master 2 OMEBA

73



## Ne pas négliger la consommation électrique

- Critère No 2 :



Rapport Froid  
produit sur  
Consommation  
électrique totale  
(auxiliaires)

$$COP_{el} = \frac{Q_{froid}}{W_{aux}}$$

Intégration sur un temps suffisant.

### Expériences 'ORASOL', deux climatisations solaires :

- PIMENT, 90 m<sup>2</sup> capteurs plans 2-Vitr ; LiBr+H<sub>2</sub>O,  
-  $COP_{el} = 2.5$  ;
- PROMES, 22 m<sup>2</sup> capteurs plans 1-Vitr ; BaCl<sub>2</sub>+NH<sub>3</sub>,  
 $COP_{el} = 7$  ;  
(autres valeurs : 4, 5, et ... 2)

Laboratoire d'Informatique pour la Mécanique et les Sciences de l'Ingénieur

Master 2 OMEBA



74



## Le froid solaire n'annule pas la consommation d'électricité

- Une climatisation à compression a un  $COP_{el}$  d'environ 3.
- Une valeur de 7 pour le  $COP_{el}$  représente une économie d'électricité correcte (env. 50 %) mais pas totale.
- Des contre-performances sont possibles : certaines expérimentations solaires consomment plus d'électricité qu'un climatiseur à compression.

Laboratoire d'Informatique pour la Mécanique et les Sciences de l'Ingénieur

Master 2 OMEBA



75



## La cause première de consommation électrique le rejet de chaleur à l'air extérieur

- Tour de refroidissement sur le toit du bâtiment, sèche ou humide, avec ou sans ventilateur, ...

- **Rejets de chaleur condenseur et absorbeur.**

Pour réduire les  $\Delta T$  et augmenter le COP de l'unité :

- 1/ faire circuler un *fort débit de fluide caloporteur* (eau) entre unité de froid et la tour ;
- 2/ actionner un *ventilateur* pour assurer une convection forcée d'air extérieur.

- **Peut s'avérer une cause de forte consommation des auxiliaires.**



Laboratoire d'Informatique pour la Mécanique et les Sciences de l'Ingénieur

## Autre cause de consommation par les auxiliaires la circulation du fluide caloporteur dans les capteurs

PIMENT (La Réunion)



- PROMES (Perpignan)



Capteurs solaires sur le toit ;

Local technique au RdC ;

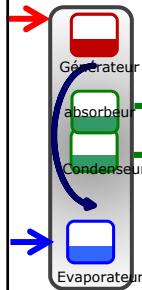
*La circulation du fluide caloporteur consomme de l'énergie (pompe).*

- Limiter la taille du champ de capteurs et sa distance à l'unité de froid.
- Limiter l'utilisation de la pompe au nécessaire.

Laboratoire d'Informatique pour la Mécanique et les Sciences de l'Ingénieur



## Influence de l'efficacité de l'unité de froid



- $COP_{unit} : Q_{evap} / Q_{chauf}$ . Aux dissipations près on a :

$$-Q_{rej} = -(Q_{cond} + Q_{abs}) = Q_{evap} + Q_{chauf} = Q_{evap} \left( 1 + \frac{1}{COP_{unit}} \right)$$

- Machine à compression :  $COP_{unit} \approx 3 \rightarrow -Q_{rej} \approx 1.3 \times Q_{evap}$

- Machine à absorption simple-effet :  $COP_{unit} \approx 0.7 \rightarrow -Q_{rej} \approx 2.4 \times Q_{evap}$

- Machine à absorption double-effet :  $COP_{unit} \approx 1.2 \rightarrow -Q_{rej} \approx 1.8 \times Q_{evap}$

• Le  $COP_{unit}$  a une influence directe sur le flux à rejeter, et donc sur débit de fluide caloporteur et écarts de température et surface d'échange, et donc sur consommation des auxiliaires.

- Diminuer les  $\Delta T$  augmente le  $COP_{unit}$ .

Laboratoire d'Informatique pour la Mécanique et les Sciences de l'Ingénieur

Master 2 OMEBA

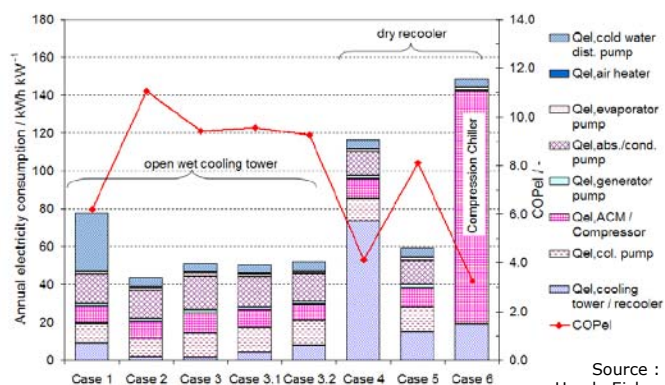
78



## Influence des technologies sur le $COP_{el}$

- Une bonne technologie de tour de refroidissement et une bonne stratégie de contrôle pour augmenter le  $COP_{el}$ .

- Autres pistes :  
rejets nocturnes  
ou  
transferts directs  
ou  
rejets vers le sol  
(quand possible)



Source :  
Ursula Eicker  
ZAFHNET

Laboratoire d'Informatique pour la Mécanique et les Sciences de l'Ingénieur

Master 2 OMEBA

79





## Autres éléments de réflexion pour diminuer la consommation électrique

- Utiliser le refroidissement par échangeur enterré.
- Utiliser les différences entre cycles intermittents et cycle continu
  - Cycles Intermittents : Condensation le jour et ab/ad-sorption la nuit = rejets de chaleur sur période plus longue.
  - Cycles continus : Condensation ET sorption le jour = rejets de chaleur sur période plus courte.
- Réduire le nombre de boucles de transferts (favoriser les transferts directs), voire utiliser des caloducs,
- ...

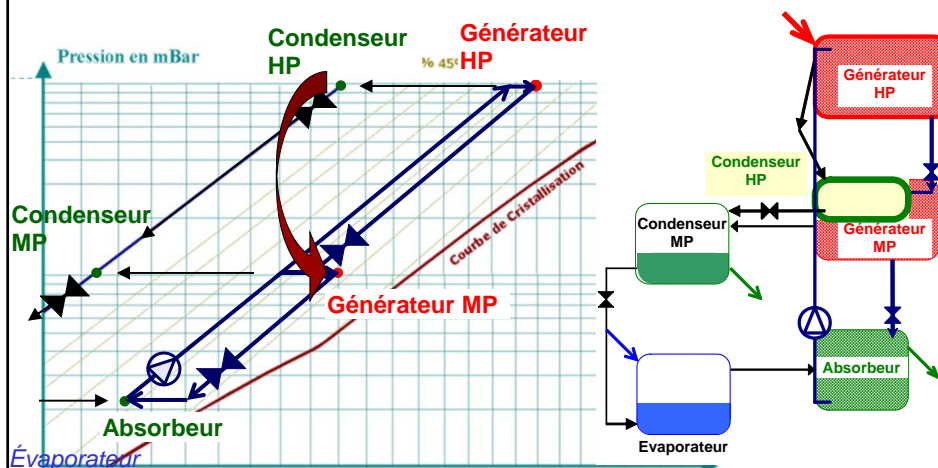
Laboratoire d'Informatique pour la Mécanique et les Sciences de l'Ingénieur

Master 2 OMEBA

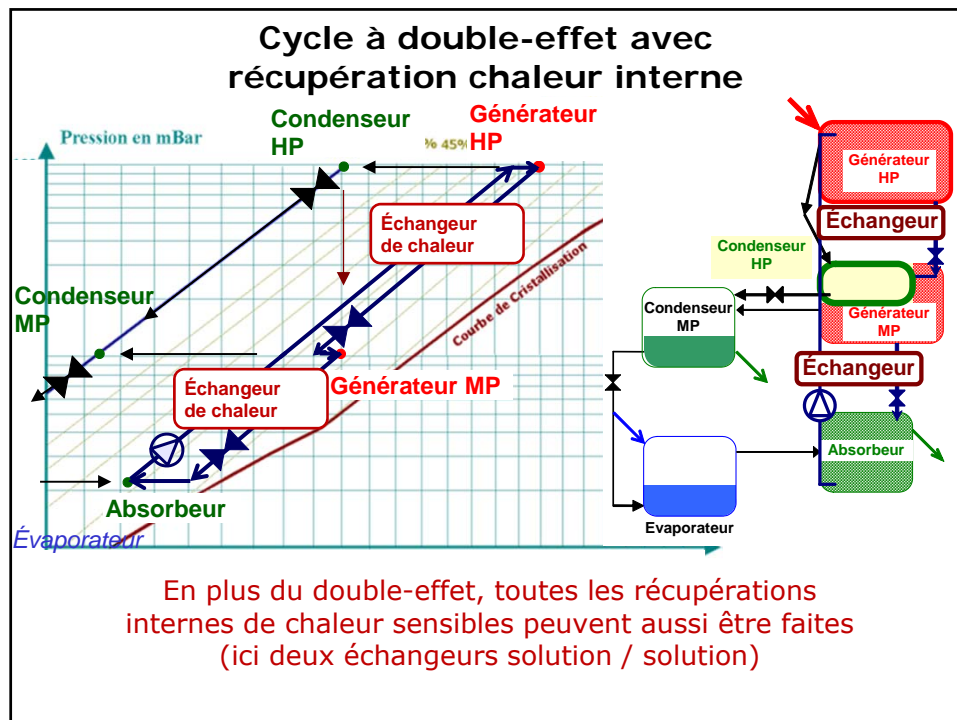
80



## Cycle à double-effet



En ajoutant un générateur et un condenseur haute pression (HP), la chaleur dégagée par ce dernier fait fonctionner « gratuitement » le générateur moyenne pression (MP).



### Quelques exemples de COP

**Sources de chaleur à 85, 35 et 5°C**

- COP cycle simple effet sans récupération : 0,67
- COP cycle simple effet avec récupération : 0,8

**Sources de chaleur à 60, 25 et 5°C**

- COP cycle simple effet avec récupération : 0,87

**Sources de chaleur à 100, 30 et 5°C**

- COP cycle simple effet avec récupération : 0,86

**Combinaison des deux derniers**

- COP cycle double effet avec récupération : 1,52

Laboratoire d'Informatique pour la Mécanique et les Sciences de l'Ingénieur

-

- RAPPELS

- BILANS D'ÉNERGIE, SUITE DU COURS No 1
- LE RAFRAÎCHISSEMENT PAR ÉVAPORATION, DIRECTE OU INDIRECTE
- LE RAFRAÎCHISSEMENT PAR CYCLE DESSICCANT
  - HISTORIQUE ET RÉALITÉ DU FROID SOLAIRE
- SUBSTITUTION DU SOLAIRE À L'ÉLECTRICITÉ
  - TENDANCES ACTUELLES
  - CONCLUSIONS
  - Annexes

Laboratoire d'Informatique pour la Mécanique et les Sciences de l'Ingénieur

Master 2 OMEBA

84



## Croître

- Augmenter la taille, augmenter la puissance
- Augmenter la température du fluide à la sortie de capteurs
- Augmenter la concentration optique (Fresnel, Parabolique)
  - Augmenter la puissance des unités de froid
    - Augmenter leur nombre d'effets
    - Augmenter leur COP<sub>unit</sub>.

Laboratoire d'Informatique pour la Mécanique et les Sciences de l'Ingénieur

Master 2 OMEBA

85



## Des projets de plus en plus grands

- Associant capteurs à concentration et unités de froid à haut COP



### CGD Bank Headquarter

Lisbon, Portugal

1560 m<sup>2</sup> collector area  
400 kW absorption chiller

Source: SOLID, Graz/Austria



### FESTO Factory

Berkheim, Germany

1218 m<sup>2</sup> collector area  
1.05 MW (3 adsorption chillers)

Source: Paradigma, Festo



### United World College (UWC)

Singapore

3900 m<sup>2</sup> collector area  
1.47 MW absorption chiller

Source: SOLID, Graz/Austria

Source :  
Daniel Mugnier  
TECSOL

Laboratoire d'Informatique pour la Mécanique et les Sciences de l'Ingénieur



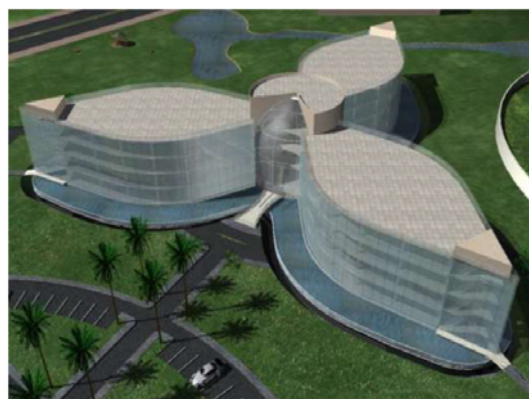
Master 2 OMEBA

86



## Voire pharaoniques

- Mais en soignant la consommation énergétique :  
800 kW « seulement » de puissance froid.



Cairo office building  
15100 m<sup>2</sup> surface  
52 W/m<sup>2</sup> cooling load  
130 kWh/m<sup>2</sup> cooling  
energy demand

Source :  
Ursula Eicker  
ZAFHNET

Laboratoire d'Informatique pour la Mécanique et les Sciences de l'Ingénieur



Master 2 OMEBA

87



## Autres tendances des réalisations actuelles

- Le **fonctionnement hybride** (soleil + ...) est préféré à un fonctionnement autonome en solaire seul :  
fraction solaire de l'ordre de 0,5.
- **Investissement**  
entre 5000 € / kW froid (pour les petites unités)  
et 2500 € / kW froid (pour les grandes) ;  
autres estimations : avec un facteur 1,5-2.

Laboratoire d'Informatique pour la Mécanique et les Sciences de l'Ingénieur

Master 2 OMEBA

88



## Conclusions

- Le froid solaire, en particulier la climatisation, va très probablement se développer, d'abord dans le tertiaire.
- Il faut encore améliorer l'efficacité des systèmes, p.ex. en utilisant augmentant la puissance.
- Il faut peut-être aussi améliorer les procédures opératoires.
- Il faut surtout veiller à la consommation électrique effective de ces systèmes.
- Le problème est plus complexe qu'à première vue, et reste encore du ressort de la recherche, en thermique-énergétique comme en mathématiques appliquées.

Laboratoire d'Informatique pour la Mécanique et les Sciences de l'Ingénieur

Master 2 OMEBA

89



- **Merci de votre attention**
- et de vos questions**

Laboratoire d'Informatique pour la Mécanique et les Sciences de l'Ingénieur



Master 2 OMEBA

90



## **Annexes**

Quelques autres procédés de réfrigération solaire

Expressions des énergies mises en jeu

Un peu de bibliographie

Laboratoire d'Informatique pour la Mécanique et les Sciences de l'Ingénieur



Master 2 OMEBA

91



## Éjection - 1

Source : EERE Information Center – US DOE (Energy Efficiency & Renewable Energy)  
www.eere.energy.gov

- La détente de vapeur motrice (de 300 à 5 kPa) permet d'aspirer de la vapeur (de 1 à 5 kPa).
- L'évaporation de vapeur à basse pression produit du froid.
- Fonctionnement en continu.

Laboratoire d'Informatique pour la Mécanique et les Sciences de l'Ingénieur

Master 2 OMEBA

92

## Éjection - 2

- Capteurs cylindro-paraboliques (140°C) : production de vapeur (3 bars).
- Quel COP de cycle ?
- Quel COP solaire intégré sur la journée ?

1 : capteur, 2 : éjecteur, 3 : évaporateur, 4 : ballon de vapeur, 5 : condenseur, 6 : aéro-réfrigérant.  
Pollerberg et al., Applied Thermal Engng (Elsevier), 2009.

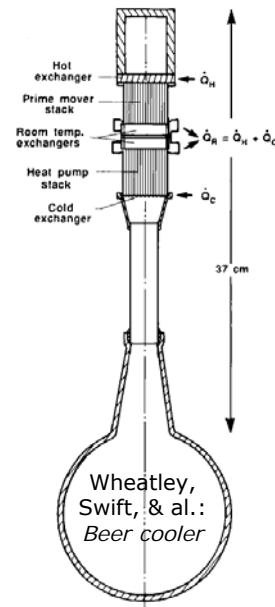
Laboratoire d'Informatique pour la Mécanique et les Sciences de l'Ingénieur

Master 2 OMEBA

93

## Thermo-acoustique

- Un gradient de température dans un stack génère une onde acoustique (énergie mécanique générée par source chaude solaire) ;
- Une onde acoustique dans un stack génère un gradient de température : pompage de chaleur = réfrigération.
  - Rendement ?



- Thermo-électrique, ou encore d'autres ?

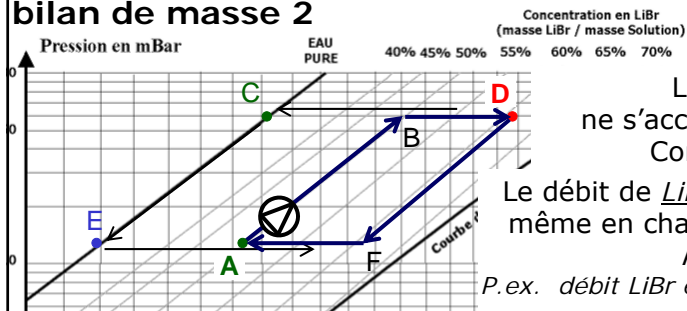
Laboratoire d'Informatique pour la Mécanique et les Sciences de l'Ingénieur

Master 2 OMEBA

94



## Le cycle à absorption liquide : bilan de masse 2



C'est la masse de LiBr (seul) qui est prise comme référence :  
Les quantités d'eau sont rapportées à la masse unitaire de LiBr,  
d'où la définition de la concentration via la Masse d'eau par unité de masse de sel (LiBr), notée  $w$  [en kg\_H<sub>2</sub>O par kg\_LiBr] :

$$w = \left( \frac{1-x}{x} \right)$$

Avec  $x$  = Concentration en LiBr (masse LiBr / masse solution),

Laboratoire d'Informatique pour la Mécanique et les Sciences de l'Ingénieur

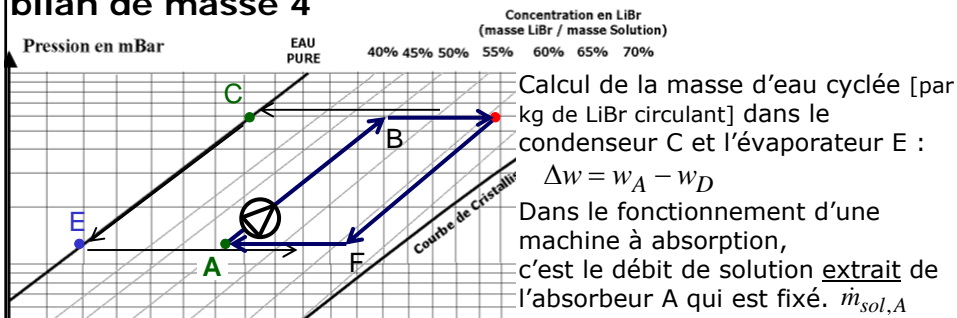
Master 2 OMEBA

95





## Le cycle à absorption liquide : bilan de masse 4



$$\dot{m}_{sol,A} \rightarrow \dot{m}_s = \dot{m}_{sol,A} \cdot x_A \quad \left. \begin{array}{l} x_A \rightarrow w_A \\ x_D \rightarrow w_D \end{array} \right\} w = \frac{(1-x)}{x} \rightarrow \Delta w = w_A - w_D$$

Débit d'eau à l'évaporateur et ..... :  $\dot{m}_{w,E} = \dot{m}_s \cdot \Delta w$

Débit de solution extrait du générateur :  $\dot{m}_{sol,D} = \dot{m}_s / x_D = \dot{m}_{sol,A} - \dot{m}_{w,E}$

Laboratoire d'Informatique pour la Mécanique et les Sciences de l'Ingénieur

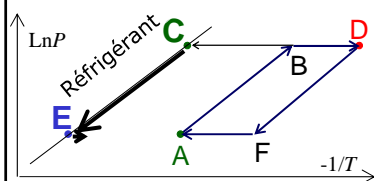
Master 2 OMEBA

96



## Le cycle à absorption liquide : bilans de chaleur

### 1. Froid produit (flux de chaleur extrait par l'évaporateur)



Débit d'eau aux condenseur & évaporateur :  $\dot{m}_s \cdot \Delta w$

calcul de la puissance frigorifique produite à l'évaporateur

Utilisant l'enthalpie et sa propriété de fonction d'état.  
Décomposition en deux étapes :

1. Refroidissement de l'eau liquide de  $T_c$  à  $T_e$  (chaleur sensible) : ...  $\dot{q}_{ce} = \dot{m}_s \cdot \Delta w \cdot c_{p_{lw}} \cdot (T_e - T_c) ; < 0$
2. Évaporation à  $T_e$  : .....  $\dot{q}_e = \dot{m}_s \cdot \Delta w \cdot L_{evap}(T_e) ; > 0$

$$\text{Total} = \dot{q}_E = \dot{q}_{ce} + \dot{q}_e ; > 0$$

Laboratoire d'Informatique pour la Mécanique et les Sciences de l'Ingénieur

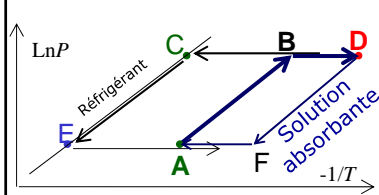
Master 2 OMEBA

97



## Le cycle à absorption liquide : bilans de chaleur

### 2. Chaleur fournie par la source chaude (1)



Calcul de la puissance thermique fournie par la source chaude

Phase isostérique AB : compositions  $x$  et  $w$  constantes, pas de changement de phase, débit de solution constant. La chaleur reçue se transforme en chaleur sensible.

$$\dot{q}_{h1} = \int \dot{m}_{sol} \cdot dh = \dot{m}_s \cdot (1 + w_A) \cdot \int c_{p_{sol}(w_A, T)} \cdot dT = \dot{m}_s \cdot (1 + w_A) \cdot \overline{c_{p_{solAB}}} \cdot (T_B - T_A)$$

Phase isobare BD : Augmentation de température. Pour les compositions :  $x$  croît,  $w$  décroît, de l'eau est désorbée ; le débit de solution décroît : chaleur sensible ET chaleur latente (cf. pl 44).

$$\dot{q}_{h2} = \int (\dot{m}_{sol} \cdot c_{p_{sol}(w, T)} \cdot dT + \Delta H \cdot d\dot{m}_{sol}) = \int \dot{m}_s \cdot (1 + w) \cdot \overline{c_{p_{solBD}}} \cdot dT + \int \Delta H \cdot d[\dot{m}_s \cdot (1 + w)]$$

$$\dot{q}_{h2} = \dot{m}_s \cdot (1 + w_{BD}) \cdot \overline{c_{p_{solBD}}} \cdot (T_D - T_B) + \Delta H \cdot \dot{m}_s \cdot (w_D - w_B) \quad \Delta H \cdot (w_D - w_B) > 0$$

$$\text{Total} = \dot{q}_H = \dot{q}_{h1} + \dot{q}_{h2}$$

Laboratoire d'Informatique pour la Mécanique et les Sciences de l'Ingénieur

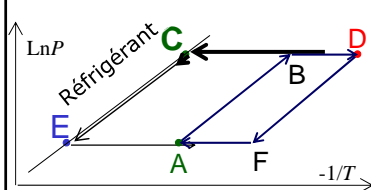
Master 2 OMEBA

98



## Le cycle à absorption liquide : bilans de chaleur

### 3. Chaleur échangée par le condenseur (1)



Connaissant le débit de solution sortant de l'absorbeur et les points A, D, C, E, calcul de la **puissance thermique échangée au condenseur**.

Reçue ou rejetée ?

- Lorsque la température de la solution passe de  $T_{des}$  à  $T_{des} + dT_{des}$  ( $T_B < T_{des} < T_D$ )  
Débit élémentaire de vapeur désorbé :

$$d\dot{m}_{vap} = -d\dot{m}_{sol} = -d[\dot{m}_s \cdot (1 + w)] = -\dot{m}_s \cdot dw = -\dot{m}_s \cdot \left( \frac{\partial w}{\partial T} \right)_P \cdot dT_{des}$$

- Quelle(s) transformation(s) entre désorption à  $T_{des}$  et sortie condenseur ?

$$d\dot{q}_C = d\dot{m}_{vap} \cdot \int_{T_{des}}^{T_c} dh = d\dot{m}_{vap} \cdot \left[ \int_{T_{des}}^{T_c} c_{p_{vap}} \cdot dT \right] + \Delta H_{cond}$$

$$d\dot{q}_C = d\dot{m}_{vap} \cdot c_{p_{vap}} \cdot (T_c - T_{des}) + d\dot{m}_{vap} \cdot \Delta H_{cond}$$

Laboratoire d'Informatique pour la Mécanique et les Sciences de l'Ingénieur

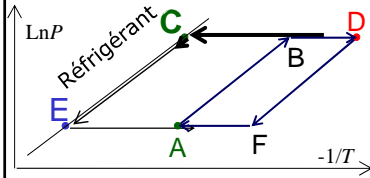
Master 2 OMEBA

99



## Le cycle à absorption liquide : bilans de chaleur

### 3. Chaleur échangée par le condenseur (2)



Connaissant le débit de solution sortant de l'absorbeur et les points A, D, C, E, calcul de la **puissance thermique échangée au condenseur**.

Désurchauffe de la vapeur depuis sa température de désorption,  $T_{des}$  jusqu'à  $T_c$ , puis condensation à  $T_c$ .

- Intégration sur toute la désorption, de  $T_B$  à  $T_D$  :
- Masse de vapeur cyclée (avec notation Pl. 60) :  $\dot{m}_{vap} = \int_{T_B}^{T_D} d\dot{m}_{vap} = \dot{m}_s \cdot \Delta w$
- Chaleur échangée au condenseur :  $\dot{q}_C = \int_{T_B}^{T_D} d\dot{q}_C$

$$\dot{q}_C = \int_{T_B}^{T_D} \left\{ -\dot{m}_s \cdot \left( \frac{\partial w}{\partial T} \right)_P \left[ c_{p,vap} \cdot (T_c - T_{des}) + \Delta H_{cond} \right] \cdot dT_{des} \right\}$$

$$\dot{q}_C = -\dot{m}_s \cdot c_{p,vap} \cdot \int_{T_B}^{T_D} \left\{ \left( \frac{\partial w}{\partial T} \right)_P \cdot (T_c - T_{des}) \cdot dT_{des} \right\} - \dot{m}_s \cdot \Delta H_{cond} \cdot \int_{T_B}^{T_D} \left\{ \left( \frac{\partial w}{\partial T} \right)_P \cdot dT_{des} \right\}$$

Laboratoire d'Informatique pour la Mécanique et les Sciences de l'Ingénieur

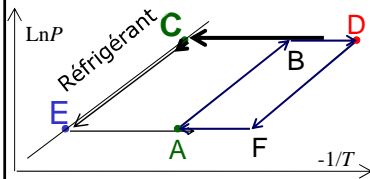
Master 2 OMEBA

100



## Le cycle à absorption liquide : bilans de chaleur

### 3. Chaleur échangée par le condenseur (3)



Connaissant le débit de solution sortant de l'absorbeur et les points A, D, C, E, calcul de la **puissance thermique échangée au condenseur**. Désurchauffe de la vapeur depuis sa température de désorption,  $T_{des}$  jusqu'à  $T_c$ , puis condensation à  $T_c$ .

$$\dot{m}_{vap} = \dot{m}_s \cdot \Delta w = \dot{m}_s \cdot (w_A - w_D)$$

$$\dot{q}_C = -\dot{m}_s \cdot c_{p,vap} \cdot \int_{T_B}^{T_D} \left\{ \left( \frac{\partial w}{\partial T} \right)_P \cdot (T_c - T_{des}) \cdot dT_{des} \right\} - \dot{m}_s \cdot \Delta H_{cond} \cdot \int_{T_B}^{T_D} \left\{ \left( \frac{\partial w}{\partial T} \right)_P \cdot dT_{des} \right\}$$

$$\dot{q}_C = -\dot{m}_s \cdot c_{p,vap} \cdot (T_c - \bar{T}_{des}) \cdot (-\Delta w) - \dot{m}_s \cdot [-L(T_c)] \cdot (-\Delta w)$$

$$\dot{q}_C = -\dot{m}_s \cdot \Delta w \cdot \left[ c_{p,vap} \cdot (\bar{T}_{des} - T_c) + L(T_c) \right]$$

Laboratoire d'Informatique pour la Mécanique et les Sciences de l'Ingénieur

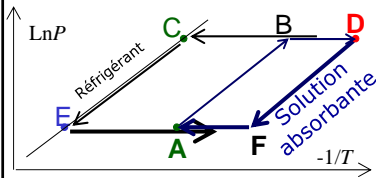
Master 2 OMEBA

101



## Le cycle à absorption liquide : bilans de chaleur

### 4. Chaleur rejetée par l'absorbeur (1)



Connaissant le débit de solution sortant de l'absorbeur et les points A, D, C, E, calcul de la par l'absorbeur à la source à température intermédiaire

Deux étapes : D → F et F → A

1. **Phase isostérique** DF → compositions  $x$  et  $w$  constantes, pas de changement de phase, débit de solution constant.

$$\dot{q}_{a1} = \int_D^F \dot{m}_{sol} \cdot dh = \dot{m}_s \cdot (1 + w_D) \cdot \int_D^F c_{p_{sol}} \cdot dT = \dot{m}_s \cdot (1 + w_D) \cdot \overline{c_{p_{solDF}}} \cdot (T_F - T_D)$$

Laboratoire d'Informatique pour la Mécanique et les Sciences de l'Ingénieur

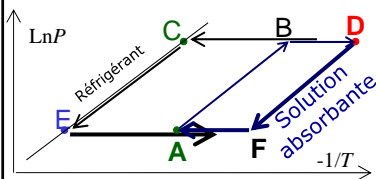
Master 2 OMEBA

102



## Le cycle à absorption liquide : bilans de chaleur

### 4. Chaleur rejetée par l'absorbeur (2)



2. **Phase isobare** : idem désorption sauf que la vapeur venant de l'évaporateur doit être chauffée.

$$\dot{q}_{a2} = \int_F^A \left( \dot{m}_{sol} \cdot c_{p_{sol}}(w, T) \cdot dT + \Delta H \cdot d\dot{m}_{sol} + c_{p_{vap}} \cdot (T - T_e) \cdot d\dot{m}_{sol} \right)$$

$$\dot{q}_{a2} = \int_F^A \dot{m}_s \cdot (1 + w) \cdot \overline{c_{p_{solFA}}} \cdot dT + \int_F^A \Delta H \cdot d[\dot{m}_s \cdot (1 + w)] + \int_F^A c_{p_{vap}} \cdot (T - T_e) \cdot \dot{m}_s \cdot \left( \frac{\partial w}{\partial T} \right)_P \cdot dT$$

$$\dot{q}_{a2} = \dot{m}_s \cdot (1 + w_{FA}) \cdot \overline{c_{p_{solFA}}} \cdot (T_A - T_F) + \overline{\Delta H} \cdot \dot{m}_s \cdot (w_A - w_F) + c_{p_{vap}} \cdot (\overline{T_{abs}} - T_e) \cdot \dot{m}_s \cdot (w_A - w_F)$$

$$\dot{q}_{a2} = \dot{m}_s \cdot (1 + w_{FA}) \cdot \overline{c_{p_{solFA}}} \cdot (T_A - T_F) + \dot{m}_s \cdot (w_A - w_F) \cdot [\overline{\Delta H} + c_{p_{vap}} \cdot (\overline{T_{abs}} - T_e)]$$

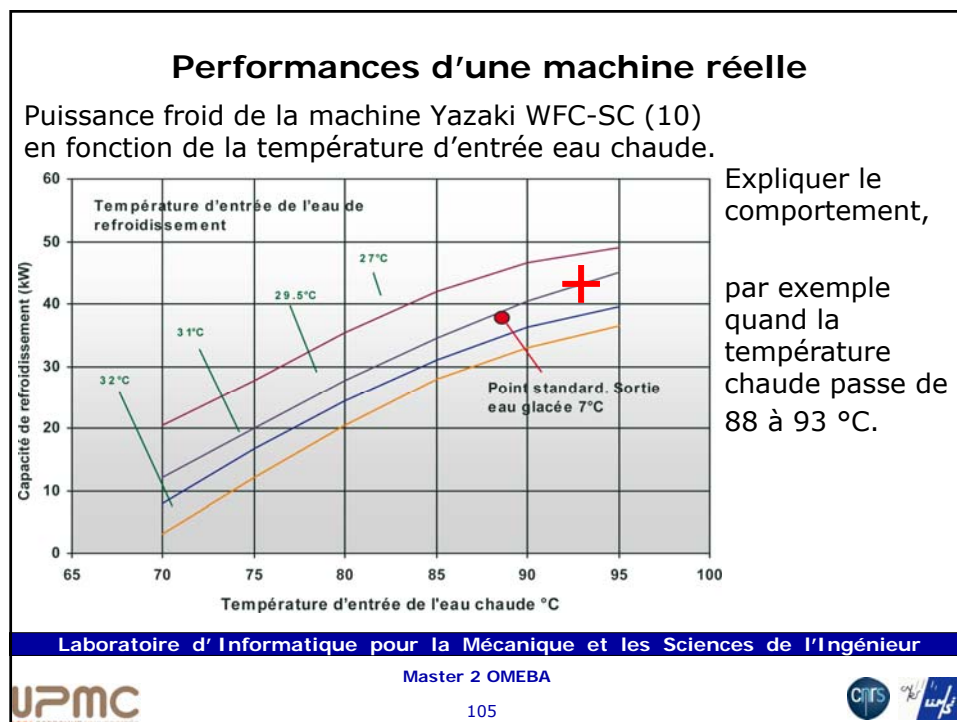
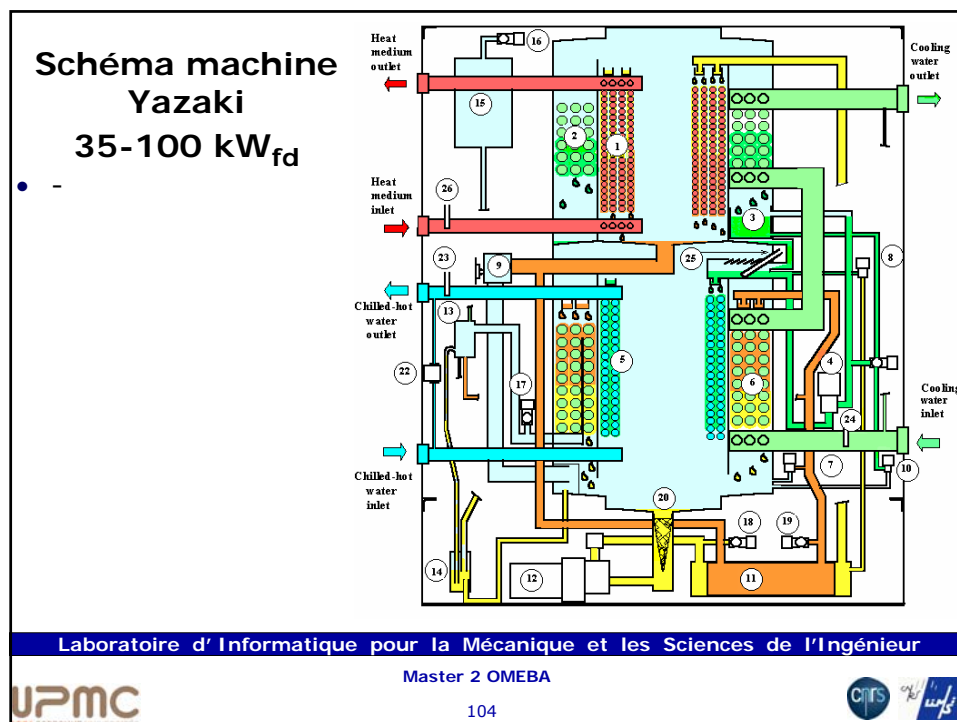
$$\text{Total} = \dot{q}_A = \dot{q}_{a1} + \dot{q}_{a2}$$

Laboratoire d'Informatique pour la Mécanique et les Sciences de l'Ingénieur

Master 2 OMEBA

103





## Pression partielle d'eau et humidité relative

- $H$  = humidité absolue [kg\_H2O / kg\_air\_sec]
- $M_a$  = Masse molaire de l'air = 28,97 g / mole.
- $M_w$  = Masse molaire de l'eau = 18,02 g / mole.
- Air humide à pression atmosphérique  $p_{atm}$ .
- Pression partielle H2O  $p_w$  tel que
  - $P_w/p_{atm} = Nb \text{ moles H2O} / Nb \text{ moles total (air + H2O)}$

$$\frac{p_w}{p_{atm}} = \frac{H / M_w}{H / M_w + 1 / M_a} = \frac{H}{H + M_w / M_a} = \frac{H}{H + 0.622}$$

- Humidité relative  $w$  :  $w = p_w / p_{sat}(T) \leq 1$

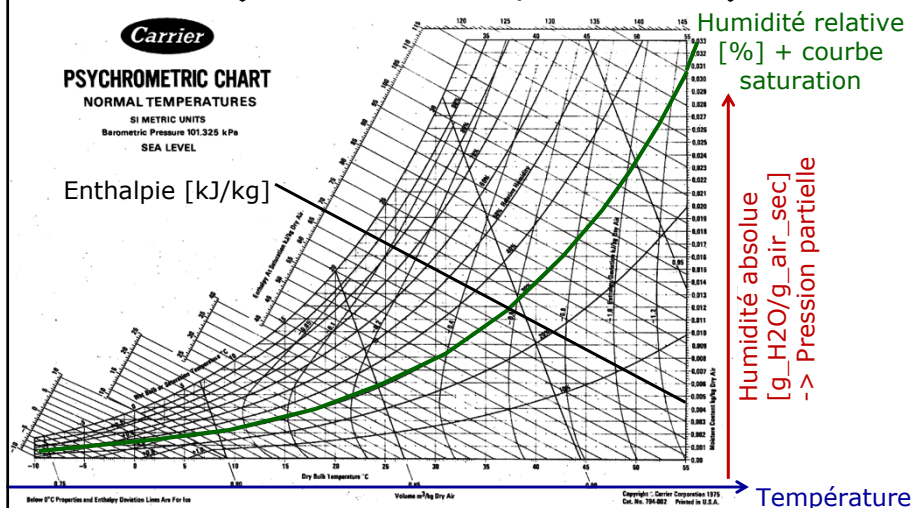
Laboratoire d'Informatique pour la Mécanique et les Sciences de l'Ingénieur

Master 2 OMEBA

106



## Le diagramme psychrométrique (de l'air humide, de Carrier)



Laboratoire d'Informatique pour la Mécanique et les Sciences de l'Ingénieur

Master 2 OMEBA

107



## Enthalpie de l'air humide

- État de référence  $T_0 = 0^\circ\text{C}$  (arbitraire en fait), et ...
  - 1. Air sec à  $T_0$ ,
  - 2. Eau liquide à  $T_0$ ,
- et pour masse de référence : 1 kg d'air sec.

$$h(T, H) = c_{pa} \cdot (T - T_0) + H \cdot [L_{evap}(T_0) + c_{pv} \cdot (T - T_0)]$$

- $c_{pa} = 1.005 \text{ kJ.kg}^{-1}.\text{K}^{-1}$  ; chaleur massique de l'air sec  
 $L_{evap} = 2502 \text{ kJ.kg}^{-1}$  ; chaleur latente évaporation de l'eau  
 $c_{pv} = 1.90 \text{ kJ.kg}^{-1}.\text{K}^{-1}$  ; chaleur massique de la vapeur d'eau

Laboratoire d'Informatique pour la Mécanique et les Sciences de l'Ingénieur

Master 2 OMEBA



108



## Quelques références, *historiques*, et récentes

- |   |  |
|---|--|
| Exell, <i>www.appropedia.org</i> (?) [cite de nombreux articles H <sub>2</sub> O+NH <sub>3</sub> ]. | Bourdoukan & al., Solar Energy 2009, 2010.   |
| Chinnappa, Solar Energy, 1962.  | Lucas & al., Eurosun Conf., 2008.  |
| Trombe & Foex, New Courses of Energy, 1964.   | Wang R.Z. et al., Appl. Therm. Engng., 2004, 2006.   |
| Swartman & Swaminathan, Mechanical Engng, 1971.   | Erhard et al., Int. J. Refrig. 1998.   |
| Farber, ISES Conf. Melbourne Australia, 1970.   | Helm, Schweigler et al., Int. J. Refrig. 2009.   |
| Worsøe-Schmidt, Int. J. Refrig., 1979 - Int. J. Ambient Energy, 1983.                               | Le Pierrès & al., Int. J. Refrig. 2007, Energy 2007, Chem. Engng Proc. 2008.                             |
| Guilleminot & Meunier, Rev. Gén. Thermique, 1981.   |  |
| Pons & al., J. Solar Energy Engng ASME, 1986, 1987.   |  |
| Grenier & al., J. Solar Energy Eng. ASME, 1988.   | Les TASKS No 38 et 48 de l'Agence Int. Énergie ( <i>Int. Energy Agency – Solar Heating and Cooling</i> ) |
| Boubakri & al., Renewable Energy, 1992a,b.  |  |
| Kodama & al., Int. J. Energy Res., 2000a,b. Adsorption 2005.  | Intersolar Europe Conf. 2012, Munich   |

Laboratoire d'Informatique pour la Mécanique et les Sciences de l'Ingénieur

Master 2 OMEBA



109

